

ОБЗОРНАЯ
СТАТЬЯ

УДК 577.113.6

АЛКИНИЛИРОВАННЫЕ НУКЛЕОЗИДЫ И ИХ АНАЛОГИ*
I. МЕТОДЫ СИНТЕЗА

© 1997 г. В. А. Коршун#, Е. В. Манасова, Ю. А. Берлин

Институт биоорганической химии им. М.М. Шемякина и Ю.А. Овчинникова РАН,
117871, Москва, ГСП-7, ул. Миклухо-Маклая, 16/10

Поступила в редакцию 21.01.97 г.

Рассмотрены методы синтеза и систематизированы сведения о получении алкинилированных нуклеозидов и их аналогов – группы соединений, лежащих в основе перспективных антисмысловых ингибиторов экспрессии генов.

Ключевые слова: алкинилированные нуклеозиды, алкинилированные аналоги нуклеозидов.

Интерес к химии модифицированных нуклеозидов продолжает расти. В первую очередь это связано с поиском новых противовирусных и противоопухолевых препаратов. Поскольку химический синтез нуклеиновых кислот разработан пре- восходно, в настоящее время возможно получение широкого круга олиго- и полинуклеотидов, содержащих модифицированные нуклеозиды в заданных положениях. Такие модифицированные полимеры полезны для изучения структуры и функции нуклеиновых кислот, межнуклеотидных и нуклеиново-белковых взаимодействий, а также представляют интерес в качестве возможных терапевтических препаратов.

Число публикаций в области химии и применения модифицированных нуклеозидов стремительно возрастает. Множество исследований проводится в лабораториях химических и фармацевтических компаний, поскольку получаемые результаты довольно быстро могут привести к разработке различных коммерческих продуктов: фармацевтических препаратов, реактивов для биохимии, молекулярной биологии и медицинской диагностики, высокотехнологичного научного оборудования (например, система для автоматизированного секвенирования ДНК) и т.д. Ре-

зультаты исследований в этой области публикуются в десятках научных журналов, а также в патентах многих стран. Поэтому систематизация и критическое сопоставление результатов, полученных различными исследователями, весьма актуальны.

В данном обзоре обобщены сведения о методах синтеза алкинилированных нуклеозидов и их аналогов и приведена сводка описанных веществ этой группы, представители которой лежат в основе перспективных антисмысловых ингибиторов экспрессии генов.

В 1996 г. химии алкинилированных нуклеозидов исполнилось 20 лет – первое сообщение о синтезе представителя этого класса, 5-этинил-2'-дезоксиуридина, было опубликовано в 1976 г. [1]. Исходным веществом служил ранее описанный 5-формилурацил (I). Реакцией Виттига он был превращен в дигромалкен (II), дезоксирибозилирование которого сильным методом привело к соответствующему нуклеозиду в виде смеси β - и α -аномеров ($\sim 3 : 1$); после хроматографии на силикагеле β -аномер (III) был выделен с умеренным выходом (схема 1).

После удаления О-защитных *n*-толуильных групп полученный нуклеозид (V) защищали исчерпывающим силилированием и затем дебромировали действием PhLi в THF при -50 и затем при 0°C . После мягкого кислотного десилилирования с низким выходом был выделен целевой нуклеозид (VI) [1] (табл. 1, № 1). В этой же работе был описан синтез 5-этинилурацила (IV) силилированием дигромалкена (II) с последующей обработкой PhLi в THF и гидролизом [1].

Другой группе исследователей после нескольких безуспешных попыток [2] также удалось синтезировать 5-этинилурацил (IV) [3] (схема 2). Исходный 5-ацетилурацил (VII) обработкой POCl_3

*Здесь и далее для краткости термином "алкинилированные нуклеозиды и их аналоги" обозначены соединения, имеющие 1-алкин-1-ильные заместители при С-атомах гетероциклических оснований нуклеозидов, их аналогов и производных.

Сокращения: Bmt – бензилоксиметил, Bz(Cl) – 4-хлорбензоил, DCE – 1,2-дихлорэтан, DMT – диметокситритил (4,4'-диметокситрифенилметил), Fc – ферроценил, Fmoc – 9-флуоренилметоксикарбонил, HMDS – гексаметилдисилазан, Mom – метоксиметил, Piv – пиваюил, Rx – пиксил (9-фенилксантен-9-ил), Thp – тетрагидропиран-2-ил, Tf – трифлил (трифторметансульфонил), Tol – *n*-толуил (4-метилбензоил), К. т. – комнатная температура.

#Автор для переписки (e-mail: vakor@ibch.sciobc.ras.ru).

Таблица 1. Синтез этинилированных нуклеозидов с использованием метода Кори–Фукса [4]

№	Исходный нуклеозид	Реагенты	Условия реакции	Продукт реакции	Выход, %	Лите-ратура
1		1. HMDS/Me3SiCl 2. PhLi 3. AcOH/MeOH	1 ч при -50°C, затем 45 мин при 0°C в THF		19	1, 6 (схема 1)
2		PhLi	-		-	6
3		1. PhLi (8.4 экв.) 2. MeOH	2 ч при -78°C, затем 2 ч при 0°C в THF		39*	7

* Приведена методика синтеза.

переводили в 5-(1-хлорвинил)-2,4-дихлорпиримидин (VIII), который при действии NaOEt в этаноле дал смесь алкинильных производных (IX) и (X) в соотношении $\sim 1 : 2.2$. Гидролиз этой смеси 2 М HCl вернул гетероциклу его исходную структуру, но сопровождался присоединением хлороводорода по тройной связи с образованием 5-(1-хлорвинил)урацила (XI). Отщепление HCl от этого вещества действием NaOEt с высоким выходом привело к целевому алкину (IV). Авторы обнаружили, что это соединение может быть также получено непосредственно из алкена (VIII) при щелочном гидролизе/дегидрохлорировании [3].

В работах [1] и [3] отмечается, что не удается провести превращение дибромалкена (II) в алкин (IV) действием BuLi , который использовался в общем методе синтеза терминальных алкинов из альдегидов через дибромалкены, разработанном Кори и Фуксом [4].

Оказалось, что алкинилированные пиримидинонны могут быть гликозилированы обычным образом. В 1977 г. появилось сообщение о синтезе таким путем 5-этинилцитидина (XVI) [5] (схема 3).

Соединение (VIII) при обработке NH_3 дало смесь продуктов (XII) и (XIII), последний из которых действием щелочи был превращен в 5-этинилцитозин (XIV). Гликозилирование основания (XIV) с высоким выходом привело к 2',3',5'-три-О-защищенному нуклеозиду (XV), из которого в результате дебензоилирования метилатом натрия был получен целевой 5-этинилцитидин (XVI) [5].

Таким образом, сначала были разработаны два подхода к синтезу алкинилированных нуклеозидов. В первом из них тройная связь создается из двойной в составе готового нуклеозида по методу Кори–Фукса (например, превращение алкена (V) в алкин (VI); схема 1). В табл. 1 приведены имеющиеся данные о превращениях алкинильных производных нуклеозидов в алкинильные. Как видно из примера 3, О-защитные ацильные группы в процессе реакции отщепляются (поэтому необходим большой избыток PhLi), тогда как алифатическая азидогруппа в этих условиях устойчива. Этим методом получали только 5-этинильные производные урацильных нуклеозидов.

Таблица 2. Синтез алкинилированных нуклеозидов гликозилированием алкинилированных гетероциклических оснований

№	Алкинилированный гетероцикл и силицирующие реагенты	Углеводное производное	Условия реакции	Продукт реакции	Выход, %	Литера-тура
1	2	3	4	5	6	7
1a			$\text{SnCl}_4 \text{ в DCE}$		75*	
1b			$\text{HgBr}_2 \text{ в DCE}$		26*	8
1c			$\text{HgBr}_2 / \text{HgO}$		40 ^{2*}	6
1d			$\text{Me}_3\text{SiOTf в MeCN}$		-	9

Таблица 2. (Продолжение)

1	2	3	4	5	6	7
2	<p>HMDS/Me₃SiCl/(NH₄)₂SO₄</p>	<p>TolO- OTol</p>	<p>Me₃SiOTf в MeCN</p>		80*,3*	9
3	<p>HMDS/Me₃SiCl</p>	<p>(Cl)BzO- OBz(Cl)</p>	<p>HgBr₂ в DCE</p>		35*	10
4a	<p>(XIV) HMDS/Me₃SiCl</p>	<p>BzO- OBz</p>	<p>SnCl₄ в DCE</p>	<p>BzO- OBz</p>	<90	5, 8* (схема 3)

Таблица 2. (Продолжение)

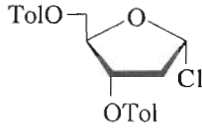
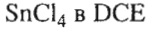
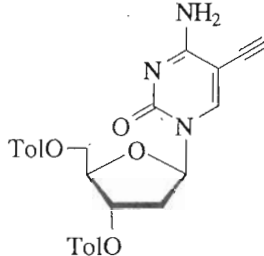
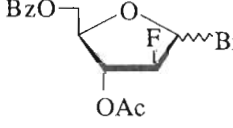
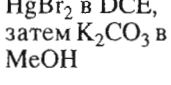
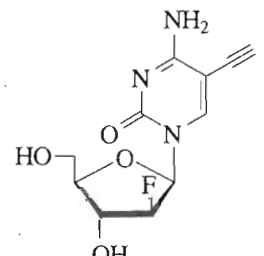
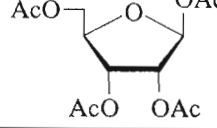
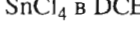
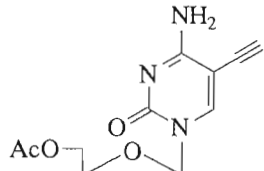
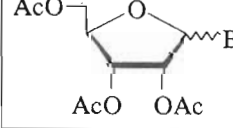
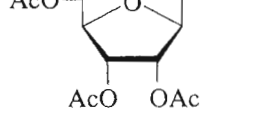
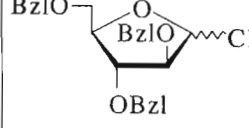
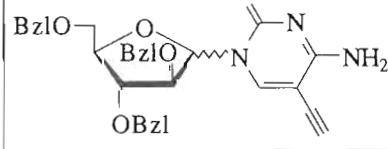
1	2	3	4	5	6	7
4b					25*	8
4c					57*	7
5a					10	
5b					45*	11
5c					52*	

Таблица 2. (Продолжение)

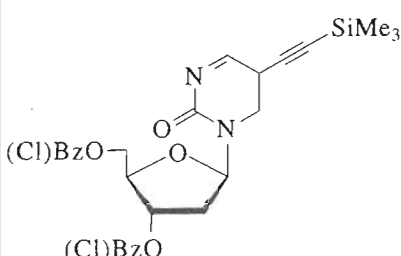
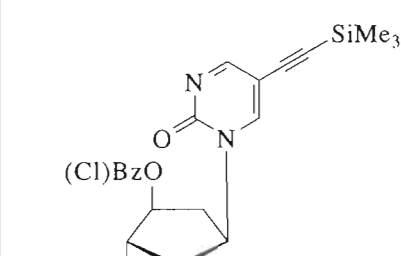
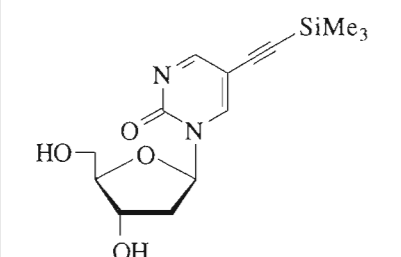
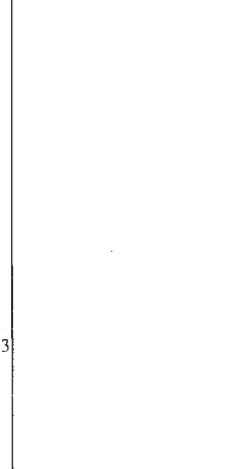
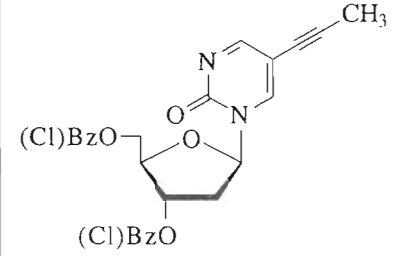
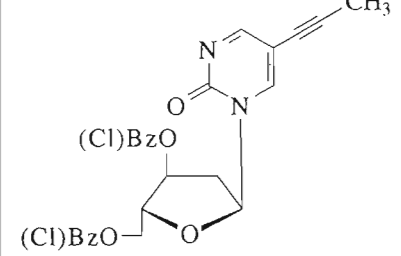
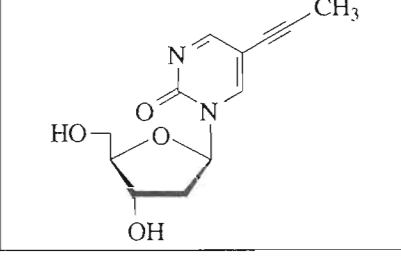
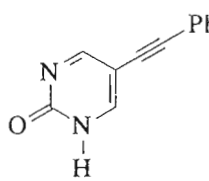
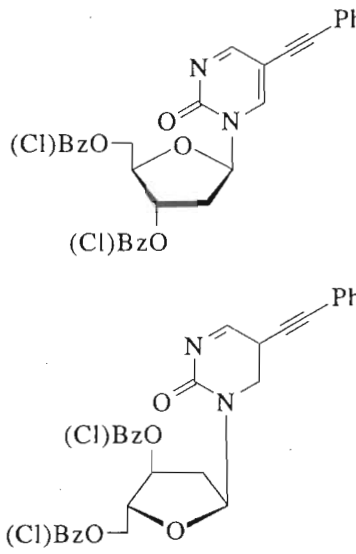
1	2	3	4	5	6	7
					12*	
6		SnCl_4 в DCE			14.2 ^{4*}	12
		SnCl_4 в DCE, затем NH_3/MeOH			55.9 ^{*,5*}	13, 14
7		Me_3SiOTf в DCE/MeCN			—	12-14
		Me_3SiOTf в DCE/MeCN, затем NH_3/MeOH			25.7 ^{4*}	
					57.7 ^{*,5*}	13, 14

Таблица 2. (Окончание)

1	2	3	4	5	6	7
8  HMDS/Me ₃ SiCl		SnCl ₄ в DCE			25*	12

* Приведена методика синтеза.

²* Заместители R не указаны.

³* Смесь β - и α -аномеров состава 1 : 1.47.

⁴* Дезацилирование не проводилось.

⁵* Выход реакции дезацилирования.

Второй подход включает в себя синтез алкинилированного гетероциклического основания и его гликозилирование (см. табл. 2).

В табл. 2 представлены данные о гликозилировании алкинилированных гетероциклических ос-

нований, trimetilсилильные производные которых могут быть выделены или же приготовлены *in situ*. Незащищенная терминальная ацетиленовая группа выдерживает различные условия гликозилирования (№ 1, 4, 5 в табл. 2). Выходы нуклеозидов колеблются в широких пределах; препара-

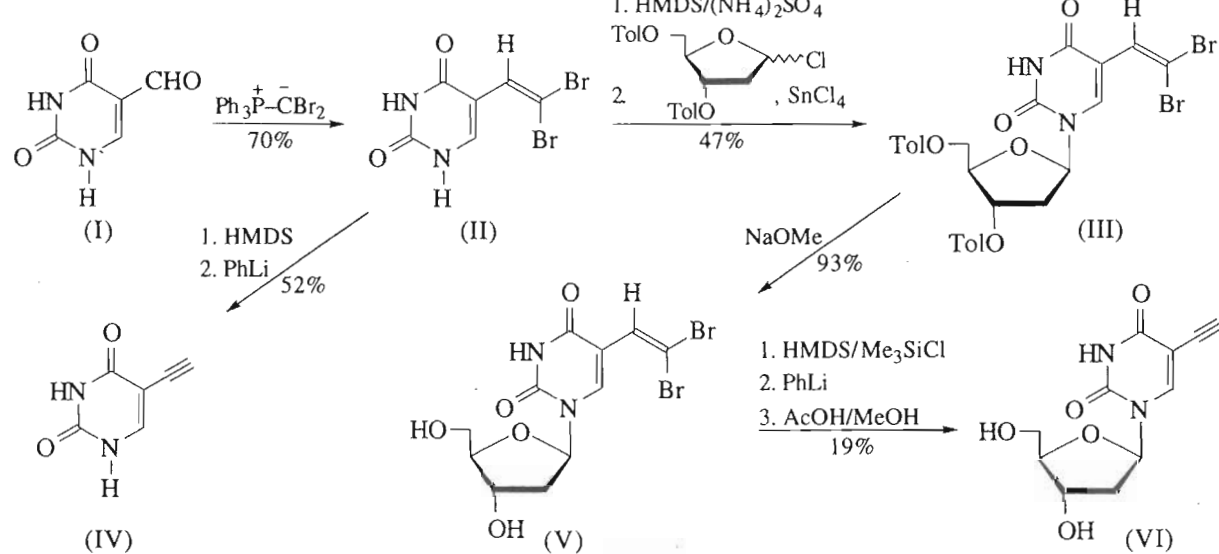


Схема 1.

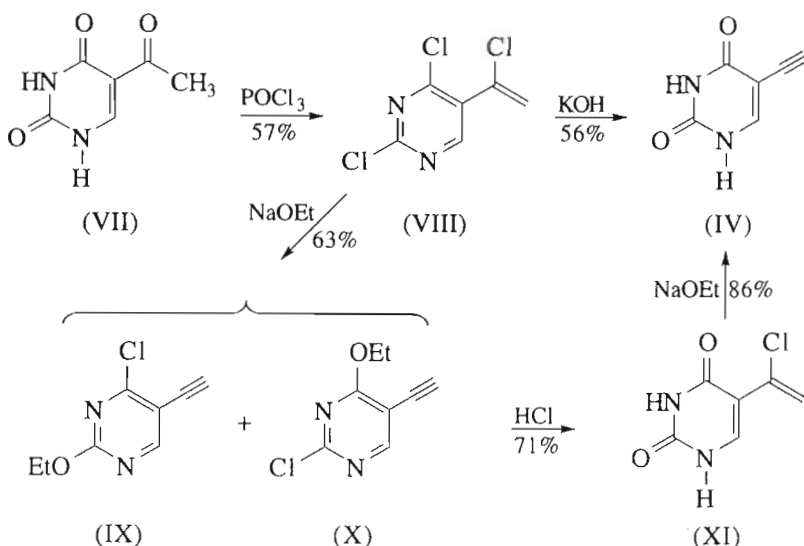


Схема 2.

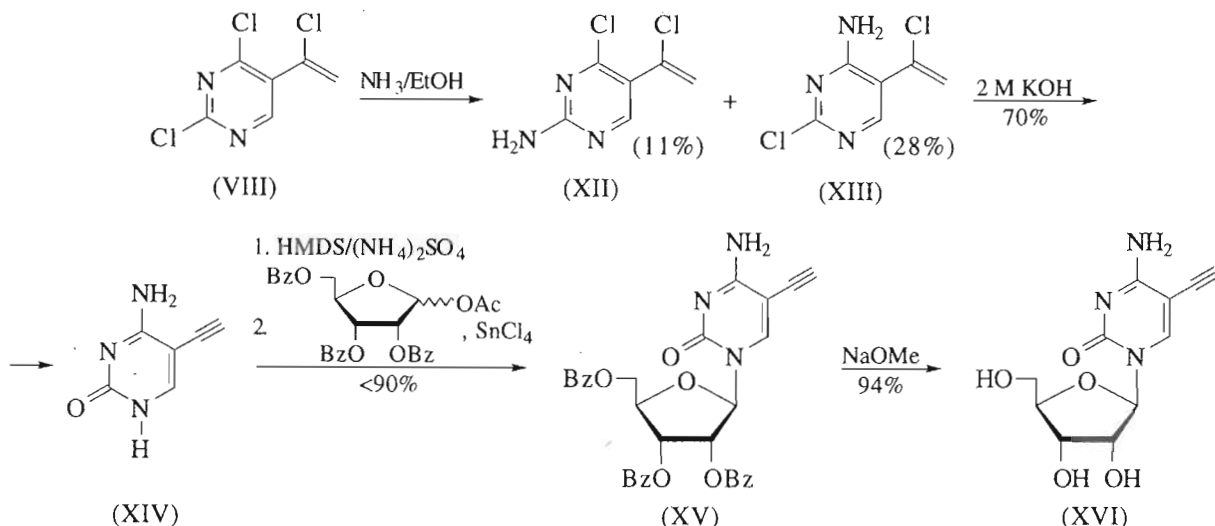


Схема 3.

тивное выделение целевого β -аномера нередко представляет собой трудноразрешимую задачу. В реакциях гликозилирования (табл. 2) использовались производные урацила (№ 1–3), цитозина (№ 4, 5) и пиримидин-2-она (№ 6–8); сведений о гликозилировании алкинилированных пуринов обнаружено не было. Гидроксилы углеводного остатка обычно защищают ацильными группами (Ac, Bz, Bz(Cl), Tol), и лишь однажды (№ 5c) был использован бензильный остаток. В качестве сахарного фрагмента нашли применение производные *D*-рибозы (№ 1a, 4a, 5a, b), 2-дезокси-*D*-рибозы (№ 1b, c, 3, 4b, 6–8), 4-тио-2-дезокси-*D*-рибозы (№ 2), *D*-арabinозы (№ 5c) и 2-фтор-2-дезокси-*D*-арabinозы (№ 4c). В одном случае в реакции гли-

козилирования был успешно использован бромалкин (№ 3).

Недостатками обоих подходов являются многостадийность и низкие выходы конечного продукта. Первый подход быстро утратил свое значение, а гликозилирование алкинилированных оснований стало активно применяться после разработки удобных методов синтеза соединений типа (IV) и (XIV). Однако в настоящее время чаще всего используется третий подход – прямое алкинилирование производных нуклеозидов (см. ниже).

Химия модифицированных нуклеозидов многим обязана развитию синтетических методов органической химии. Так, в первой половине

60-х годов Кастро и Стивенс разработали метод замещения галогена в арилиодидах алкин-1-ильным остатком в результате реакции с медной солью соответствующего ацетилена $\text{CuC}\equiv\text{CR}$ [15, 16], однако из-за довольно жестких условий (нагревание при $110\text{--}125^\circ\text{C}$ в течение нескольких часов) этот метод даже не пытались использовать для синтеза алкинированных нуклеозидов и нуклеиновых оснований. В конце 60-х годов было открыто катализируемое соединениями палладия сочетание арил- или винилгалогенидов (и других производных) с алкенами (реакция Хека), представляющее собой эффективный способ образования C–C-связи (см. обзоры [17–21]). В 1975 г. две группы исследователей (в том числе группа Хека) показали, что арилгалогениды ArX в присутствии $\text{Pd}(\text{OAc})_2$, $\text{Pd}(\text{OAc})_2/\text{PPh}_3$ [22], $\text{Pd}(\text{PPh}_3)_4$ или $\text{Pd}(\text{PBu}_3)_4$ [23] и основания способны реагировать с терминальными алкинами $\text{RC}\equiv\text{CH}$ с образованием $\text{ArC}\equiv\text{CR}$ в гораздо более мягких условиях, чем по Стивенсу–Кастро. В том же году японские авторы сообщили, что эта реакция может протекать даже при комнатной температуре, если в качестве катализатора реакционная смесь содержит не только соединение палладия ($\text{Pd}(\text{PPh}_3)_2\text{Cl}_2$), но и CuI , а в качестве растворителя и основания – диэтиламин [24]. Эта модификация реакции Хека оказалась настолько удачной и получила такое широкое распространение, что иногда этот метод называют реакцией Соногаширы [25] (схема 4).

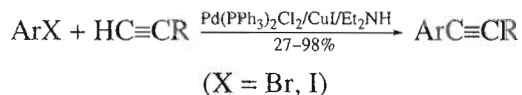


Схема 4.

Дальнейшее изучение этой реакции показало, что среди арилгалогенидов наиболее активны иодиды, тогда как реакция с бромидами иногда требует повышенной температуры, а хлориды реагируют с трудом или вообще не реагируют. Впоследствии было описано применение этого метода для алкинилирования галогенированных азотистых гетероциклов – пиридинов [26–28], пиразинов [29], хинолинов и изохинолинов [30].

Если в качестве алкина взят ацетилен, то даже при большом его избытке основным продуктом реакции является соответствующий толан $\text{ArC}\equiv\text{CAr}$ [24]. Поэтому для синтеза этиниларенов был разработан вариант метода с использованием монозащищенного ацетилена. В этом качестве особенно удобен триметилсилилацетилен – его легко дозировать, поскольку он жидкий, и, кроме того, триметилсилильная группа может быть удалена в мягких условиях [31, 32] (схема 5).

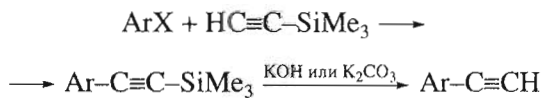


Схема 5.

Если на схеме 5 Ar – остаток нуклеозида, требующий мягких условий десилирования, то для этого удобно использовать такой селективный реагент, как Bu_4NF в THF.

Реакция Хека–Соногаширы в различных модификациях была использована для синтеза алкинированных нуклеиновых оснований (табл. 3) и нуклеозидов (табл. 4). В табл. 3 приведены те примеры алкинирования азотистых гетероциклов, где продукт реакции далее был использован для гликозилирования или же мог быть использован после N-деблокирования. Из табл. 3 видно также, что алкинирование азотистых гетероциклов возможно и по Стивенсу–Кастро (№ 8а), однако более мягкие условия реакции Соногаширы использовать гораздо удобнее. В случае производных урацила сочетание может осложниться последующей циклизацией (№ 2б; эта побочная реакция будет рассмотрена ниже).

Для нуклеозидов различные условия C-алкинирования (преимущественно, но не исключительно в условиях реакции Соногаширы) исследованы более подробно (см. табл. 4).

Интересно, что Бергстром, впервые применивший для синтеза 5-алкенированных пиридиновых нуклеозидов (см. обзоры [40, 110]) сочетание по Хеку 5-хлормеркуриуридина [111] или 5-иодуридина [41] с алкенами в присутствии Li_2PdCl_4 или $\text{Pd}(\text{OAc})_2$, потерпел неудачу при попытке ввести в реакцию алкины (№ 1 и 2а в табл. 4) [41].

Через полтора года Пиша с сотр. [43] удалось с низким выходом синтезировать первый алкинированный пуриновый нуклеотид (№ 3 в табл. 4).

Вскоре Робинс и Барр [44] показали, что взаимодействие 5-иод-3',5'-ди-O-толуил-2'-дезоксиуридина или 5-иод-2',3',5'-три-O-толуилуридина с алкинами в условиях реакции Соногаширы (в присутствии $\text{Pd}(\text{PPh}_3)_2\text{Cl}_2$ и CuI в Et_3N) позволяет получить соответствующие алкинированные продукты с высокими выходами (№ 4 и 5а–д, f–m в табл. 4). Впоследствии авторы изложили свои результаты в подробной статье [45] (см. 5а–д, f–m и 6а, б в табл. 4).

Сразу после предварительного сообщения Робинса и Барра появилась статья Пиша [51] о новом методе синтеза 5-алкинированных 2'-дезоксиуридинов сочетанием силицированного 5-иод-2'-дезоксиуридина с хлорцинковыми производными терминальных алкинов в присутствии палладиевого ($\text{Pd}(\text{PPh}_3)_2\text{Cl}_2$ или $\text{Pd}(\text{PhCN})_2\text{Cl}_2$) или никелевого ($\text{Ni}(\text{Ph}_2\text{PCH}_2\text{CH}_2\text{PPH}_2)\text{Cl}_2$) катализаторов (№ 7а–j в табл. 4). Выходы алкинов при этом невелики (10–35%), а методика значительно сложнее, чем примененная Робинсом и Барром. В сообщении [52] продукты реакции охарактеризованы намного полнее.

В 80-е годы появилось несколько публикаций по синтезу алкинированных нуклеозидов. Как

Таблица 3. Синтез алкинилированных нуклеиновых оснований и других азотистых гетероциклов сочетанием галогенпроизводных с алкинами

№	Нуклеиновое основание (азотистый гетероцикл)	Алкин*	Условия реакции*: катализатор, основание и т.д.	Продукт реакции	Выход, %	Литература
1	2	3	4	5	6	7
1		$\equiv\text{SiMe}_3$ (2.75)	Pd(PPh ₃) ₂ Cl ₂ CuI ночь при к. т. в Et ₃ N, N ₂		65 ^{2*}	33
2a		» (2)	Pd(PPh ₃) ₂ Cl ₂ CuI 3 ч при 50°C в Et ₃ N, Ar		79 ^{2*}	34
2b			Pd(PPh ₃) ₂ Cl ₂ CuI Et ₃ N MeOH/H ₂ O		-	35
3a		$\equiv\text{SiMe}_3$ (1.2)	Pd(PPh ₃) ₂ Cl ₂ CuI 72 ч при к. т. в Et ₃ N		76.6 ^{2*}	13, 14
3b		$\equiv\text{CH}_3$	Pd(PPh ₃) ₂ Cl ₂ CuI 24 ч в Et ₃ N		76.7 ^{2*}	

Таблица 3. (Продолжение)

1	2	3	4	5	6	7
4a			Pd(PPh ₃) ₂ Cl ₂ CuI Et ₃ N (3.6) 18 ч при 90°C в MeCN, N ₂		79 ^{3*}	
4b			Pd(PPh ₃) ₂ Cl ₂ CuI Et ₃ N (3.6) 48 ч при 90°C в MeCN, N ₂	R = -CH ₂ CH(CH ₃) ₂	64 ^{3*}	
5a			Pd(PPh ₃) ₂ Cl ₂ CuI Et ₃ N (3.6) 1.5 ч при 90°C в DMSO, N ₂	R = Ph	58 ^{3*}	
5b			Pd(PPh ₃) ₂ Cl ₂ CuI Et ₃ N (3.6) 2 ч при 90°C в DMSO, N ₂	»	65 ^{3*}	
5c			Pd(PPh ₃) ₂ Cl ₂ CuI Et ₃ N (3.6) 2 ч при 90°C в DMSO, N ₂	R = -CH ₂ CH(CH ₃) ₂	35 ^{3*}	
6a			Pd(PPh ₃) ₂ Cl ₂ CuI Et ₃ N (3.6) 2.5 ч при 90°C в DMSO, N ₂		40 ^{3*}	36
6b			Pd(PPh ₃) ₂ Cl ₂ CuI Et ₃ N (3.6) 4 ч при 90°C в DMSO, N ₂	R = -CH ₂ CH(CH ₃) ₂	11 ^{3*}	
7a			Pd(PPh ₃) ₂ Cl ₂ CuI Et ₃ N (3.6) 24 ч при 90°C в DMSO, N ₂		35 ^{3*}	
7b			Pd(PPh ₃) ₂ Cl ₂ CuI Et ₃ N (3.6) 4 ч при 90°C в DMSO, N ₂	R = -CH ₂ CH(CH ₃) ₂	Следы	

Таблица 3. (Окончание)

1	2	3	4	5	6	7
8a			Py, кипячение 2.5 ч, N ₂		86.6 ^{2*}	37
8b			Pd(PPh ₃) ₂ Cl ₂ (0.01) CuI (0.03) 6 ч при 55–60°C в Et ₃ N, N ₂		99 ^{2*}	38
8c		» (2)	Pd(PPh ₃) ₂ Cl ₂ (0.02) CuI (0.05) NaHCO ₃ (1.3) 1 ч при 30°C, затем 8 ч при 50°C в MeCN		19 ^{2*}	
9a			Pd(PPh ₃) ₂ Cl ₂ (0.05) 24 ч при 60°C в DMF, N ₂		68 ^{2*}	
9b			Pd(PR ₃) ₄ ^{4*} (0.025) 2 ч при 65°C в DMF, N ₂		—	39
			Pd(PR ₃) ₄ ^{4*} (0.025) 2 ч при 40°C в DMF, N ₂		79 ^{3*}	

* Количество алкина, катализаторов и осаждения, если эти данные имеются в литературном источнике, приведено в эквивалентах в расчете на азотистый гетероцикл.

^{2*} Приведена методика синтеза.

^{3*} Приведена общая методика.

^{4*} R = 2-фурил.

правило, исследователи использовали метод Со-ногаширы в модификации Робинса и Барра. Так, Кояма и др. [36] применили в качестве сорасторителей MeCN или DMSO, что позволило при повышенной температуре (90°C) получить с отличными выходами алкинильные производные пуриновых

нуклеозидов, используя в качестве субстратов бром- и даже хлорпроизводные (табл. 4, № 8, 9a, b, 10a, b, 11a, b, 12a, b). Преимущество DMSO состоит в том, что в силу его высокой растворяющей способности в реакцию можно вводить нуклеозиды с незащищенными гидроксильными группами;

Таблица 4. Синтез алкинилированных нуклеозидов сочетанием нуклеозидных производных с алкинами

№	Нуклеозид	Алкин*	Условия реакции*: катализатор, основание и т. д.	Продукт реакции	Выход, %	Литература
1	2	3	4	5	6	7
1			"По методу Хека"; ср. [40]	 единственный идентифицируемый продукт	—	41
2a			Pd(OAc) ₂ PPh ₃ Et ₃ N	Сложная смесь продуктов	—	
2b			Pd(PPh ₃) ₄ (0.025) CuI (0.05) Et ₃ N (2) 24 ч при к. т. в DMF		80 ^{2*}	42
3			IMg (1-3) Pd(PPh ₃) ₂ Cl ₂ (0.05) кипение 5 ч в THF, N ₂ , затем H ₂ O		20 ^{2*}	43
4			Pd(PPh ₃) ₂ Cl ₂ CuI 50°C в Et ₃ N, N ₂		92	44

Таблица 4. (Продолжение)

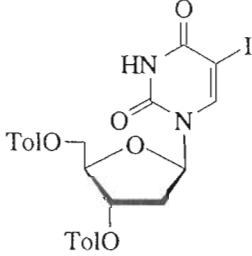
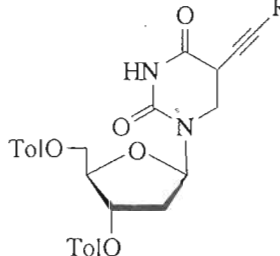
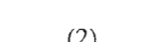
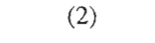
1	2	3	4	5	6	7
5a	 	Pd(PPh ₃) ₂ Cl ₂ CuI 10 ч при 50°C в Et ₃ N, N ₂	 R = Et	91	91 ^{2*}	45
		» (2) Pd(PPh ₃) ₂ Cl ₂ (0.02) CuI (0.08) 4 ч при 50°C в Et ₃ N, N ₂				
		» (~15) Pd(PPh ₃) ₂ Cl ₂ (0.02) CuI (0.08) 2–6 ч при 50°C в Et ₃ N, N ₂				
5b	  (2)	Pd(PPh ₃) ₂ Cl ₂ (0.02) CuI (0.08) 3 ч при 50°C в Et ₃ N, N ₂	R = -(CH ₂) ₂ CH ₃	85	44, 45 ^{2*}	
		Pd(PPh ₃) ₂ Cl ₂ (0.02) CuI (0.08) 4 ч при 50°C в Et ₃ N, N ₂				
5c	  (2)	Pd(PPh ₃) ₂ Cl ₂ (0.02) CuI (0.08) 4 ч при 50°C в Et ₃ N, N ₂	R = -(CH ₂) ₃ CH ₃	90 ^{3*}	45	
		Pd(PPh ₃) ₂ Cl ₂ (0.02) CuI (0.08) 3 ч при 50°C в Et ₃ N, N ₂				
5d	  (2)	Pd(PPh ₃) ₂ Cl ₂ (0.02) CuI (0.08) 3 ч при 50°C в Et ₃ N, N ₂	R = -(CH ₂) ₄ CH ₃	89	44	
		Pd(PPh ₃) ₂ Cl ₂ (0.02) CuI (0.08) 12 ч при 50°C в Et ₃ N, N ₂				
5e	  (2)	Pd(PPh ₃) ₂ Cl ₂ (0.02) CuI (0.08) 12 ч при 50°C в Et ₃ N, N ₂	R = -(CH ₂) ₅ CH ₃	—	47	
		Pd(PPh ₃) ₂ Cl ₂ (0.02) CuI (0.08) » (2)				
5f	  (2)	Pd(PPh ₃) ₂ Cl ₂ (0.02) CuI (0.08) » (2)	R = -C(CH ₃) ₃	89	44	
		Pd(PPh ₃) ₂ Cl ₂ (0.02) CuI (0.08) » (2)				

Таблица 4. (Продолжение)

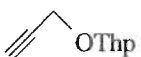
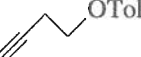
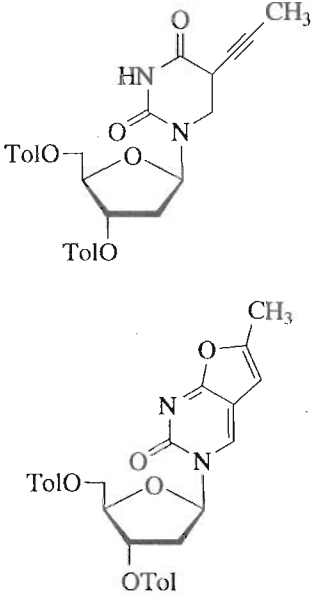
1	2	3	4	5	6	7
5g		$\equiv\text{SiMe}_3$ (2)	Pd(PPh ₃) ₂ Cl ₂ (0.02) CuI (0.08) 18 ч при 50°C в Et ₃ N, N ₂	R = -SiMe ₃	85	
5h		$\equiv\text{Ph}$ (2)	Pd(PPh ₃) ₂ Cl ₂ (0.02) CuI (0.08) 1 ч при 50°C в Et ₃ N, N ₂	R = Ph	91	
5i		 OThp (2)	Pd(PPh ₃) ₂ Cl ₂ (0.02) CuI (0.08) 2 ч при 50°C в Et ₃ N, N ₂	R = -CH ₂ OThp	72	
5j		 OThp (2)	Pd(PPh ₃) ₂ Cl ₂ (0.02) CuI (0.08) 5 ч при 50°C в Et ₃ N, N ₂	R = -(CH ₂) ₂ OThp	85	44, 45 ^{2*}
5k		 OTol (2)	Pd(PPh ₃) ₂ Cl ₂ (0.02) CuI (0.08) 2.5 ч при 50°C в Et ₃ N, N ₂	R = -(CH ₂) ₂ OTol	85	
5m		 OTol (2)	Pd(PPh ₃) ₂ Cl ₂ (0.02) CuI (0.08) 4 ч при 50°C в Et ₃ N, N ₂	R = -(CH ₂) ₃ OTol	87	
5n		$\equiv\text{CH}_3$ (~20)	Pd(PPh ₃) ₂ Cl ₂ (0.02) CuI (0.08) 2–6 ч при 50°C в Et ₃ N, N ₂		90 ^{2*} ~2	46

Таблица 4. (Продолжение)

1	2	3	4	5	6	7
5p					87 ^{2*}	46
5q			Pd(PPh ₃) ₂ Cl ₂ (0.02) CuI (0.08) Et ₃ N (5) 90 ч при к. т. в EtOAc		84 ^{3*}	48
5r			Pd(PPh ₃) ₂ Cl ₂ (0.12) CuI (0.2) Et ₃ N (2.1) 5 ч при 50°C в DMF, N ₂		92 ^{3*}	
5s					93 ^{2*}	
5t					88 ^{2*}	38
5u					83 ^{2*}	
5v			Pd(PPh ₃) ₂ Cl ₂ (0.12) CuI (0.2) NaHCO ₃ (2.55) 8 ч при 50°C в DMF, N ₂		17.8 ^{3*}	
5w					20 ^{2*}	

Таблица 4. (Продолжение)

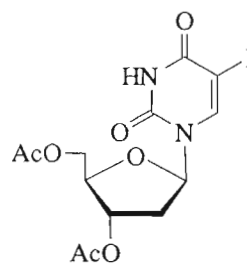
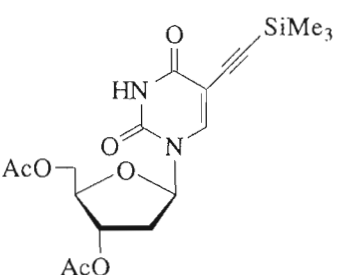
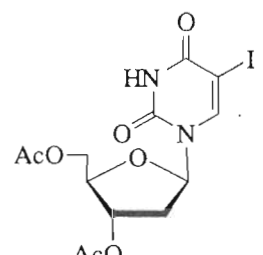
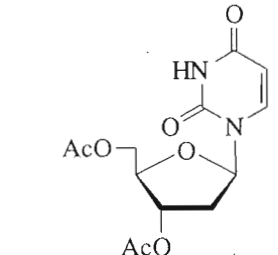
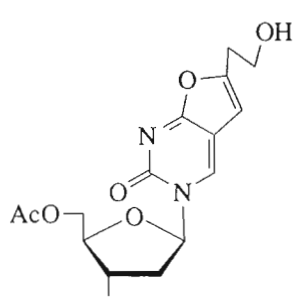
1	2	3	4	5	6	7
6a		≡SiMe ₃ (2)	Pd(PPh ₃) ₂ Cl ₂ CuI 3 ч при 50°C в Et ₃ N, N ₂ (0.02) (0.08)		80 ^{3*}	45
6b		(2)	Pd(PPh ₃) ₂ Cl ₂ CuI 2.5 ч при 50°C в Et ₃ N, N ₂ , затем 85% водн. AcOH 1.5 ч при 50°C (0.02) (0.04)		7	11
					61 ^{3*}	
					9	

Таблица 4. (Продолжение)

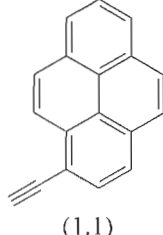
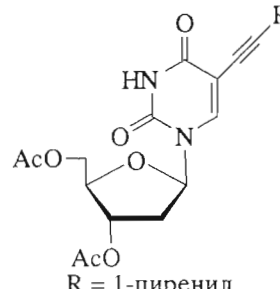
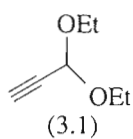
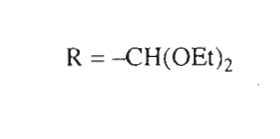
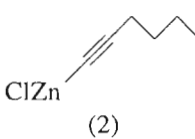
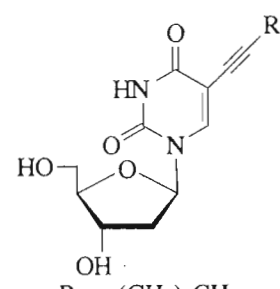
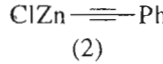
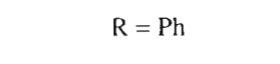
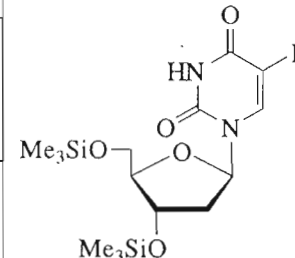
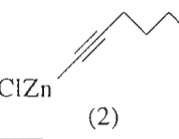
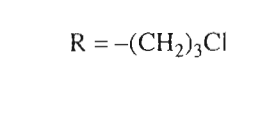
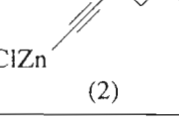
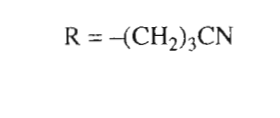
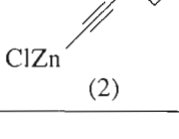
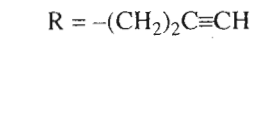
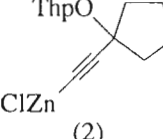
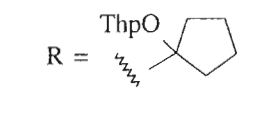
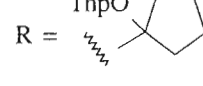
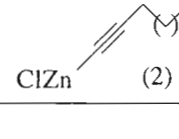
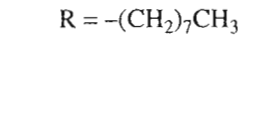
1	2	3	4	5	6	7
6c		 (1.1)	Pd(PPh ₃) ₄ (0.05) CuI (0.1) Et ₃ N (2) 2 ч при 60°C в DMF	 R = 1-пиренил	83 ^{3*}	49
6d		 (3.1)	Pd(PPh ₃) ₂ Cl ₂ (0.002) CuI (0.007) 2 ч при 50°C в Et ₃ N	 R = -CH(OEt) ₂	91 ^{3*}	50
7a		 (2)	Pd(PPh ₃) ₂ Cl ₂ (0.05) 24 ч при 0°C в THF, затем H ₂ O-Et ₃ N, 1 : 1	 R = -(CH ₂) ₃ CH ₃	30 ^{2*}	
7b		 (2)		 R = Ph	35 ^{2*}	
7c		 (2)	Pd(PPh ₃) ₂ Cl ₂ (0.1) 24 ч при -45°C в THF, затем H ₂ O-Et ₃ N, 1 : 1	 R = -(CH ₂) ₃ Cl	30 ^{2*}	51, 52
7d		 (2)	Pd(PPh ₃) ₂ Cl ₂ (0.1) 24 ч при -78°C в THF, затем H ₂ O-Et ₃ N, 1 : 1	 R = -(CH ₂) ₃ CN	10 ^{2*}	
7e		 (2)	Pd(PPh ₃) ₂ Cl ₂ (0.1) 24 ч при 0°C в THF, затем H ₂ O-Et ₃ N, 1 : 1	 R = -(CH ₂) ₂ C≡CH	12 ^{2*}	
7f		 (2)	Pd(PPh ₃) ₂ Cl ₂ (0.1) 24 ч при -45°C в THF, затем H ₂ O-Et ₃ N, 1 : 1	 R = 	35 ^{2*}	
7g		 (2)	Pd(PPh ₃) ₂ Cl ₂ (0.1) 48 ч при 0°C в THF, затем H ₂ O-Et ₃ N, 1 : 1	 R = -(CH ₂) ₇ CH ₃	10 ^{2*}	

Таблица 4. (Продолжение)

1	2	3	4	5	6	7
7h		 (2)	Pd(PhCN) ₂ Cl ₂ (0.1) 24 ч при -45°C в THF, затем H ₂ O-Et ₃ N, 1 : 1	 R =		18 ^{2*}
7i		 (2)	Pd(PhCN) ₂ Cl ₂ (0.1) 24 ч при -78°C в THF, затем H ₂ O-Et ₃ N, 1 : 1	 R =		17 ^{2*}
7j		 (2)	Ni(Ph ₂ PCH ₂ -CH ₂ PPPh ₂)Cl ₂ (0.1) 48 ч при -45°C в THF, затем H ₂ O-Et ₃ N, 1 : 1	 R =		10 ^{2*}
7k		 Fe	Pd(PPh ₃) ₂ Cl ₂ CuI Et ₃ N	R = Fc		35
8		 ≡Ph (1.2–1.3)	Pd(PPh ₃) ₂ Cl ₂ CuI Et ₃ N (3.6) 2.5 ч при 90°C в DMSO	 HO	67 ^{2*}	36
9a			Pd(PPh ₃) ₂ Cl ₂ CuI Et ₃ N (3.6) 16 ч при 90°C в MeCN	 HO	80 ^{2*}	
9b		 ≡CH-CH(CH ₃) ₂ (1.2–1.3)	Pd(PPh ₃) ₂ Cl ₂ CuI Et ₃ N (3.6) 2 ч при 90°C в DMSO	 HO	86 ^{2*}	
9c		 ≡CH-CH ₂ -CH ₂ -CH ₂	Pd(PPh ₃) ₂ Cl ₂ (0.02) CuI (0.08) Et ₃ N 3 ч при 70°C в DMF, Ar	 HO	57 ^{2*}	53

Таблица 4. (Продолжение)

1	2	3	4	5	6	7
10a	<p>HO OH OH</p>	<p>(1.2–1.3)</p>	Pd(PPh ₃) ₂ Cl ₂ CuI Et ₃ N (3.6) 1.5 ч при 90°C в DMSO	<p>R = Ph</p>	95 ^{2*}	36
		<p>(1.2–1.3)</p>	Pd(PPh ₃) ₂ Cl ₂ CuI Et ₃ N (3.6) 4 ч при 90°C в DMSO	<p>R = -CH₂CH(CH₃)₂</p>		
11a		<p>(1.2–1.3)</p>	Pd(PPh ₃) ₂ Cl ₂ CuI Et ₃ N (3.6) 1 ч при 90°C в DMSO	<p>R = Ph</p>	98 ^{2*}	36
		<p>(1.2–1.3)</p>	Pd(PPh ₃) ₂ Cl ₂ CuI Et ₃ N (3.6) 4 ч при 90°C в DMSO	<p>R = -CH₂CH(CH₃)₂</p>		
11b		<p>(1.2–1.3)</p>	Pd(PPh ₃) ₂ Cl ₂ CuI Et ₃ N (3.6) 4 ч при 90°C в DMSO	<p>R = Ph</p>	95 ^{2*}	
11c		<p>(1.2–1.3)</p>	Pd(PPh ₃) ₂ Cl ₂ CuI Et ₃ N (0.02) (0.08) 1.5 ч при 70°C в DMF, Ar	<p>R = -(CH₂)₅CH₃</p>	97 ^{3*}	53
12a		<p>(1.2–1.3)</p>	Pd(PPh ₃) ₂ Cl ₂ CuI Et ₃ N (3.6) 1 ч при 90°C в DMSO	<p>R = Ph</p>	81 ^{2*}	36
		<p>(1.2–1.3)</p>	Pd(PPh ₃) ₂ Cl ₂ CuI Et ₃ N (3.6) 4 ч при 90°C в DMSO	<p>R = -CH₂CH(CH₃)₂</p>		

Таблица 4. (Продолжение)

1	2	3	4	5	6	7
13a		$\equiv \text{SiMe}_3$ (3)	Pd(PPh_3) ₂ Cl ₂ CuI 2–6 ч при 50°C в Et_3N , N_2		83 ^{2*}	
13b		$\equiv \text{CH}_3$ (~20)			72 ^{2*}	46
13c		$\equiv \text{C}_2\text{H}_5$ (~15)			66 ^{2*}	14

Таблица 4. (Продолжение)

1	2	3	4	5	6	7
13d		(3)			72 ^{2*}	
					~1	
14a		≡CH ₃	Pd(PPh ₃) ₄ (0.087) CuI (0.3) 7 ч при 25°C в Et ₃ N, затем NaOMe/MeOH кипячение 30 мин	 R = Me, R' = H	60 ^{3*}	54
14b			Pd(PPh ₃) ₄ (0.087) CuI (0.15) 9 ч при 25°C в Et ₃ N, затем NaOMe/MeOH кипячение 30 мин	R = -CH ₂ CH ₃ , R' = H	28 ^{2*}	
14c		 (2)	PdCl ₂ (0.1) PPh ₃ (0.2) CuI (0.2) Et ₃ N (2.9) 2 ч при 40°C в THF, Ar	R = -SiMe ₃ , R' = Bz	64 ^{2*}	55
14d		 (4)	Pd(PPh ₃) ₂ Cl ₂ (0.03) CuI (0.12) 4 ч при 50°C в DMF-Et ₃ N, 1 : 1, Ar	R = -CH ₂ OCH ₃ , R' = Bz	81 ^{3*}	56

Таблица 4. (Продолжение)

1	2	3	4	5	6	7
14e			Pd(PPh ₃) ₂ Cl ₂ (0.024) CuI (0.09) 2 ч при 60°C в Et ₃ N, Ar (1.5)		79 ^{3*} 57 9.3	
15a			Pd(PPh ₃) ₂ Cl ₂ (0.07) CuI (0.27) 20 ч при к. т. в CH ₂ Cl ₂ -Et ₃ N, 1 : 1, N ₂ ≡SiMe ₃ (2)		90 ^{3*} 7	
15b		" (4)	Pd(PPh ₃) ₂ Cl ₂ (0.02) CuI (0.05) 3 ч при 50°C в Et ₃ N, Ar		82 ^{3*} 58	
16		" (5)	Pd(PPh ₃) ₂ Cl ₂ (0.02) CuI (0.08) Et ₃ N 24 ч при к. т., N ₂ , затем MeOH, 1 M NaOH		68 ^{3*} 59	
17			Pd(PPh ₃) ₂ Cl ₂ (0.02) CuI (0.08) 24 ч при к. т. в DMF-Et ₃ N, 1 : 2, N ₂ , затем H ₂ O, DMSO		41 ^{2*}	

Таблица 4. (Продолжение)

1	2	3	4	5	6	7
18a			Pd(PPh ₃) ₂ Cl ₂ CuI 1 ч при 80°C в Et ₃ N-DMF, Ar	 R = -SiMe ₃	97	60, 61
			Pd(PPh ₃) ₄ CuI затем Et ₄ NF в MeCN	R = H	64	62
			» (1.2) Pd(PPh ₃) ₂ Cl ₂ (0.1) CuI (0.05) Et ₃ N (1.2) 1 ч при 80°C в DMF, Ar	R = -SiMe ₃	90 ^{2*}	53
18b			Pd(PPh ₃) ₂ Cl ₂ CuI 1 ч при 80°C в Et ₃ N-DMF, Ar	R = Ph	97	60, 61
			» (1.2) Pd(PPh ₃) ₂ Cl ₂ (0.1) CuI (0.05) Et ₃ N (1.2) 80°C в DMF, Ar	»	97 ^{2*}	63
18c			Pd(PPh ₃) ₂ Cl ₂ CuI 1 ч при 80°C в Et ₃ N-DMF, Ar	R = -CH ₂ OH	96	60, 61
			» (1.2) Pd(PPh ₃) ₂ Cl ₂ (0.1) CuI (0.05) Et ₃ N (1.2) 1 ч при 80°C в DMF, Ar	»	96 ^{2*}	53
			» (1.2) Pd(PPh ₃) ₂ Cl ₂ CuI 1 ч при 80°C в Et ₃ N-DMF, Ar	R = -(CH ₂) ₂ OH	85	60, 61
18d			Pd(PPh ₃) ₂ Cl ₂ (0.1) CuI (0.05) Et ₃ N (1.2) 1 ч при 80°C в DMF, Ar	»	86 ^{2*}	53

Таблица 4. (Продолжение)

1	2	3	4	5	6	7
18e			Pd(PPh ₃) ₂ Cl ₂ CuI 1 ч при 80°C в Et ₃ N–DMF, Ar	R = –CH(OH)CH ₃ R = –(CH ₂) ₂ CH ₃	80 90	60, 61
18f			Pd(PPh ₃) ₂ Cl ₂ (0.1) CuI (0.05) Et ₃ N (1.2) 1 ч при 80°C в DMF, Ar	»	90 ^{2*}	53
			PdCl ₂ (0.05) PPh ₃ (0.12) CuI (0.08) 24 ч при к. т. в Et ₃ N–MeCN, 1 : 1	»	83 ^{2*}	64
			Pd(PPh ₃) ₂ Cl ₂ CuI 1 ч при 80°C в Et ₃ N–DMF, Ar	R = –(CH ₂) ₃ CH ₃	81	60, 61
18g			Pd(PPh ₃) ₂ Cl ₂ (0.1) CuI (0.05) Et ₃ N (1.2) 1 ч при 80°C в DMF, Ar	»	85 ^{2*}	53
			PdCl ₂ (0.05) PPh ₃ (0.12) CuI (0.08) 24 ч при к. т. в Et ₃ N–MeCN, 1 : 1	»	84 ^{2*}	64
			Pd(PPh ₃) ₂ Cl ₂ (0.1) CuI (0.05) Et ₃ N (1.2) 1 ч при 80°C в DMF, Ar	R = –(CH ₂) ₄ CH ₃	93 ^{2*}	53
18h			PdCl ₂ (0.05) PPh ₃ (0.12) CuI (0.08) 24 ч при к. т. в Et ₃ N–MeCN, 1 : 1	»	70 ^{2*}	64
			Pd(PPh ₃) ₂ Cl ₂ (0.1) CuI (0.05) Et ₃ N (1.2) 1 ч при 80°C в DMF, Ar	R = –(CH ₂) ₅ CH ₃	84 ^{2*}	53
18i			PdCl ₂ (0.05) PPh ₃ (0.12) CuI (0.08) 24 ч при к. т. в Et ₃ N–MeCN, 1 : 1	»	78 ^{2*}	64

Таблица 4. (Продолжение)

1	2	3	4,	5	6	7
18j		 (1.2)	Pd(PPh ₃) ₂ Cl ₂ (0.1) CuI (0.05) Et ₃ N (1.2) 1 ч при 80°C в DMF, Ar	R = -(CH ₂) ₆ CH ₃	86 ^{2*}	
18k		 (1.2)		R = -(CH ₂) ₇ CH ₃	88 ^{2*}	
18m		 (1.2)		R = -(CH ₂) ₉ CH ₃	97 ^{2*}	
18n		 (1.2)		R = -(CH ₂) ₁₁ CH ₃	93 ^{2*}	
18p		 (1.2)		R = -(CH ₂) ₂ O(CH ₂) ₇ CH ₃	8 ^{2*}	
18q		 (1.2)		R = -(CH ₂) ₃ OCH ₂ CH ₃	38 ^{2*}	53
18r		 (1.2)		R = -CH ₂ CH ₃	56 ^{2*}	
18s		 (1.2)		R = -(CH ₂) ₁₃ CH ₃	98 ^{2*}	
18t		 (1.2)		R = -(CH ₂) ₁₅ CH ₃	72 ^{2*}	
18u		 (1.2)		R = -CH ₂ OCH ₃	61 ^{2*}	
18v		 (1.2)		R = -CH ₂ O(CH ₂) ₃ CH ₃	51 ^{2*}	
18w		 (1.2)		R = -(CH ₂) ₂ O(CH ₂) ₂ CH ₃	42 ^{2*}	
18x		 (1.2)	Pd(PPh ₃) ₂ Cl ₂ (0.1) CuI (0.05) Et ₃ N (1.2) 80°C в DMF, Ar	R = -(CH ₂) ₂ Ph	61 ^{2*}	
18y		 (1.2)		R = -C(CH ₃) ₂ OH	55 ^{2*}	
18z		 (1.2)		R = -CH(OH)(CH ₂) ₂ CH ₃	64 ^{2*}	63
18aa		 (1.2)		R = -CH(OH)(CH ₂) ₄ CH ₃	67 ^{2*}	

Таблица 4. (Продолжение)

1	2	3	4	5	6	7
19a		 ≡Ph (2.4)	Pd(PPh ₃) ₂ Cl ₂ (0.1) CuI (0.1) 2 ч при 60°C в Et ₃ N, Ar	 R = Ph	71 ^{2*}	32
19b				R = -(CH ₂) ₃ CH ₃	74 ^{2*}	
19c				R = -CH ₂ OH	73 ^{2*}	
19d				R = -SiMe ₃	68 ^{2*}	
20			Pd(PPh ₃) ₂ Cl ₂ (0.02) CuI (0.08) 3 ч при 50°C в Et ₃ N, Ar	 R = SiMe ₃	75 ^{3*}	65
21			Pd(PPh ₃) ₂ Cl ₂ (0.08) CuI (0.27) 4 ч при к. т. в CH ₂ Cl ₂ -Et ₃ N, 1 : 1, Ar	 R = SiMe ₃	83.4 ^{3*}	66
22a			Pd(PPh ₃) ₂ Cl ₂ (0.05) CuI (0.1) Et ₃ N (1.5) 60°C в DMF, N ₂	 R = SiMe ₃	90 ^{3*}	67
22b				R = -(CH ₂) ₃ CH ₃	83 ^{2*}	

Таблица 4. (Продолжение)

1	2	3	4	5	6	7
23a			Pd(PhCN)2Cl2 (0.1) Et3N (1.2) 24 ч при 100°C в DMF, Ar		Следы	69
23a'			Pd(PPh3)2Cl2 (0.1) Et3N (1.2) 21 ч при 100°C в MeCN, Ar	»	42 ^{2*}	
			Pd(OAc)2 (0.1) Et3N (1.2) 23 ч при 100°C в MeCN, Ar	»	32 ^{2*}	
23a'			Pd(PhCN)2Cl2 (0.1) CuI (0.05) Et3N (1.2) 20 ч при 100°C в MeCN, Ar	»	19	68, 69 ^{2*}
			Pd(PhCN)2Cl2 (0.1) Et3N (1.2) 3.5 ч при 100°C в MeCN, Ar	»	94	
23b			Pd(PhCN)2Cl2 (0.1) Et3N (1.2) 4 ч при 100°C в MeCN, Ar	R = -(CH2)2OH	93	68,
23c				R = -(CH2)2CH3	75	69 ^{2*}
23d				R = Ph	79	
23e				R = -(CH2)3CH3	73	68
23f			Pd(PhCN)2Cl2 (0.05) Et3N (1.2) 22 ч при 100°C в MeCN, Ar		46	68
					55 ^{3*}	69

Таблица 4. (Продолжение)

1	2	3	4	5	6	7
23g		Bu ₃ Sn —≡— SiMe ₃ (1.2)	Pd(PhCN) ₂ Cl ₂ (0.05) 17 ч при 100°C в MeCN, Ar		77	68
23h			Pd(PhCN) ₂ Cl ₂ (0.1) Et ₃ N (1.2) 3 ч при 100°C в MeCN, Ar	R = —C(CH ₃) ₂ OH	73 ^{2*}	69
23i			Pd(PhCN) ₂ Cl ₂ (0.1) Et ₃ N (1.2) 16 ч при 100°C в MeCN, Ar	R =	95 ^{2*}	63 ^{2*}
23j			Pd(PhCN) ₂ Cl ₂ (0.1) Et ₃ N (1.2) 3 ч при 100°C в MeCN, Ar	R =	77 ^{2*}	69
23k			Pd(PhCN) ₂ Cl ₂ (0.1) Et ₃ N (1.2) 10 ч при 100°C в MeCN, Ar	R = —(CH ₂) ₂ Ph	56 ^{2*}	
23m			Pd(PhCN) ₂ Cl ₂ (0.1) Et ₃ N (1.2) 35 ч при 100°C в MeCN, Ar	R = —(CH ₂) ₃ CN	86 ^{2*}	
24a			Pd(PPh ₃) ₂ Cl ₂ (0.02) CuI (0.08) Et ₃ N (5) 40 ч при к. т. в EtOAc, N ₂		53 ^{3*}	70
					4	

Таблица 4. (Продолжение)

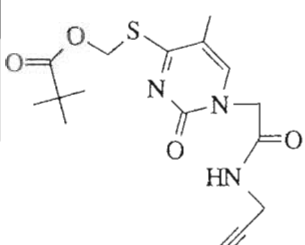
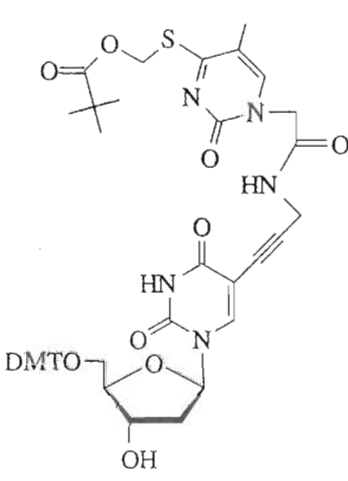
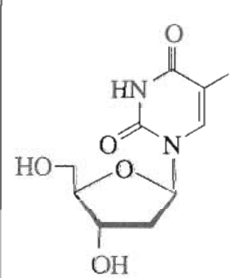
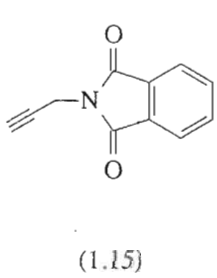
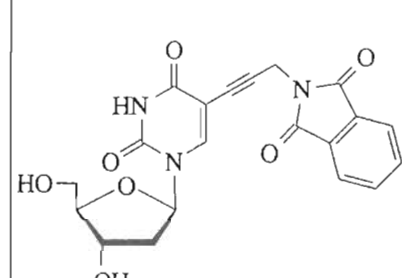
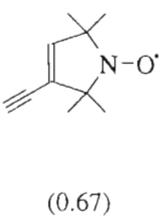
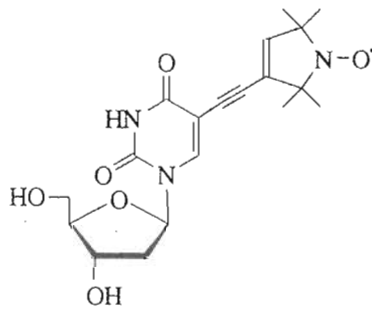
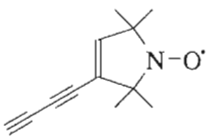
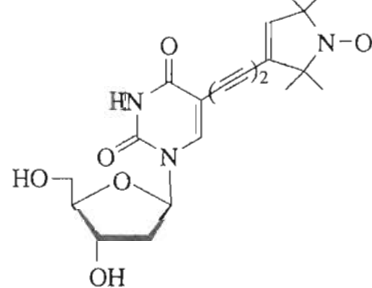
1	2	3	4	5	6	7
24b			Pd(PPh ₃) ₄ CuI Et ₃ N в диоксане		45	71
25a		 (1.15)	Pd(PPh ₃) ₂ Cl ₂ (0.05) CuI (0.2) AcONa (2.6) кипение 1.5 ч в MeOH, Ar		55- 75 ^{3*}	72
25b		 (0.67)	Pd(PPh ₃) ₄ (0.15) ^{4*} CuI (2) ^{4*} Et ₃ N (0.95) ^{4*} 6 ч при 25°C в DMF		75 ^{3*}	73
25c			Pd(PPh ₃) ₄ CuI Et ₃ N 1 ч при 25°C в DMF		72	74

Таблица 4. (Продолжение)

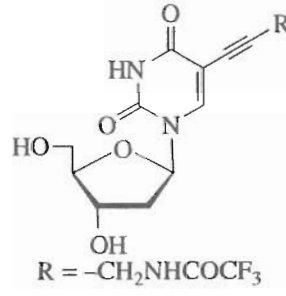
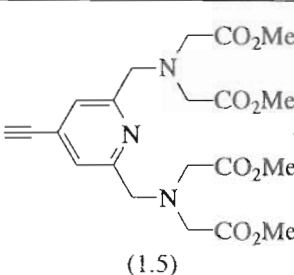
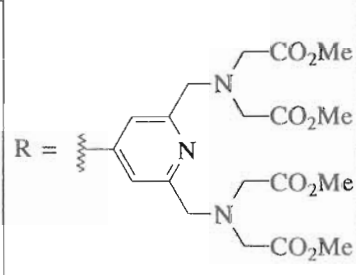
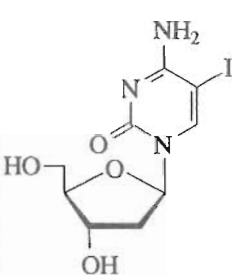
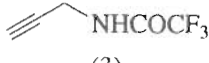
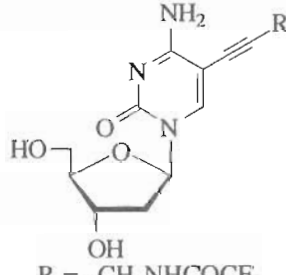
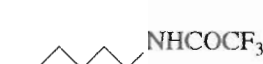
1	2	3	4	5	6	7
25d		 R = -CH ₂ NHCOCF ₃	Pd(PPh ₃) ₄ (0.025) CuI (0.05) Et ₃ N (2) 24 ч при к. т. в DMF	 »	81 ^{2*}	42
			Pd(PPh ₃) ₄ (0.1) CuI (0.2) Et ₃ N (3) 4 ч при к. т. в DMF, Ar		46 ^{2*}	75
			Pd(0) ^{5*} (0.1) CuI (0.2) Et ₃ N (2) 4 ч при 25°C в H ₂ O-MeCN, 1 : 1		95 ^{3*}	76
25e	 (1.5)	 R =	Pd(PPh ₃) ₂ Cl ₂ (0.05) CuI (0.1) Et ₃ N (2) 15 мин в DMF, Ar		89 ^{3*}	77
26a		 (3)	Pd(PPh ₃) ₄ (0.1) CuI (0.2) Et ₃ N (2) 4 ч при к. т. в DMF	 R = -CH ₂ NHCOCF ₃	74 ^{2*}	42, 75, 78
26b		 (3)	Pd(PPh ₃) ₄ (0.1) CuI (0.2) Et ₃ N (2) 12 ч при к. т. в DMF	 R = -(CH ₂) ₄ NHCOCF ₃	78 ^{3*}	79

Таблица 4. (Продолжение)

1	2	3	4	5	6	7
27a			Pd(PPh3)4 (0.025) CuI (0.05) Et3N (2) 24 ч при к. т. в DMF		77 ^{2*}	42
27b			Pd(PPh3)4 (0.1) CuI (0.2) Et3N (2) 4 ч при к. т. в DMF	»	66 ^{2*}	75, 78, 80, 81
27c			Pd(PPh3)4 (0.1) CuI (0.2) Et3N (2) 24 ч при к. т. в DMF	R = -(CH2)10NHCOCF3	80 ^{2*}	42, 75, 78
27d				R = -CH2NH2	-7*	42, 78
27e			Pd(PPh3)4 (0.1) CuI (0.2) Et3N (2) 4 ч при к. т. в DMF	R = -(CH2)5NH2	64 ^{7*}	42, 75, 78
28					90 ^{3*}	42, 75, 78, 80, 81
		» (2.5-3)	Pd(PPh3)4 (0.1) CuI (0.2) Et3N (2) 1.5-6 ч при к. т. в DMF		87 ^{2*}	82
			Pd(PPh3)2Cl2 (0.1) CuI (0.2) Et3N (2) 1.5-6 ч при к. т. в DMF		84 ^{2*}	

Таблица 4. (Продолжение)

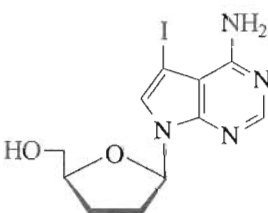
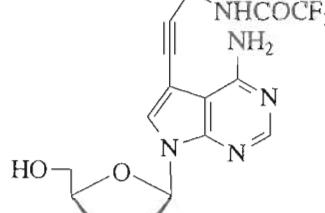
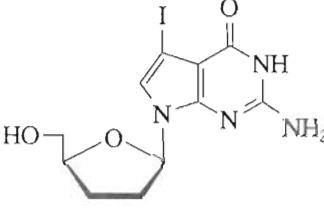
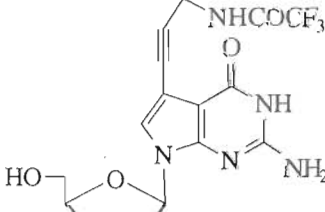
1	2	3	4	5	6	7
29	 	» (3)	Pd(PPh ₃) ₄ (0.1) CuI (0.2) Et ₃ N (2) 4 ч при к. т. в DMF			42, 75, 80, 81
			Pd(PPh ₃) ₄ (0.1) CuI (0.2) Et ₃ N (2) 1.5 ч при к. т. в DMF		92 ^{2*}	
		» (2.5-3)	Pd(PPh ₃) ₄ (0.1) CuI (0.2) Et ₃ N (2) 1.5-6 ч при к. т. в DMF		78	
			Pd(PPh ₃) ₂ Cl ₂ (0.1) CuI (0.2) Et ₃ N (2) 1.5-6 ч при к. т. в DMF		90 ^{3*}	82
30	 	» (3)	Pd(PPh ₃) ₄ (0.1) CuI (0.2) Et ₃ N (2) 4 ч при к. т. в DMF			42, 75, 80
			Pd(PPh ₃) ₄ (0.1) CuI (0.2) Et ₃ N (2) 2.25 ч при к. т. в DMF		78 ^{2*}	
		» (2.5-3)	Pd(PPh ₃) ₄ (0.1) CuI (0.2) Et ₃ N (2) 1.5-6 ч при к. т. в DMF		78	
			Pd(PPh ₃) ₂ Cl ₂ (0.1) CuI (0.2) Et ₃ N (2) 1.5-6 ч при к. т. в DMF		90 ^{2*}	82

Таблица 4. (Продолжение)

1	2	3	4	5	6	7
31			Pd(0) ^{5*} CuI Et ₃ N 6 ч при 25°C в H ₂ O-MeCN, 24 : 1		52 ^{8*}	
			Pd(0) ^{5*} CuI Et ₃ N 3 ч при 25°C в H ₂ O-MeCN, 1 : 1		73 ^{3*, 8*}	
32			Pd(0) ^{5*} CuI Et ₃ N 3 ч при 25°C в H ₂ O-MeCN, 1 : 1		76	
		(1.25)			50 ^{3*}	
33			Pd(PPh ₃) ₄ CuI Et ₃ N 1.5–6 ч при к. т. в DMF		75 ^{2*}	82
		(2.5–3)	Pd(PPh ₃) ₂ Cl ₂ CuI Et ₃ N 1.5–6 ч при к. т. в DMF		72 ^{2*}	
34a			Pd(PPh ₃) ₄ CuI Et ₃ N 2.5 ч при 50°C в DMF		87 ^{3*}	83

Таблица 4. (Продолжение)

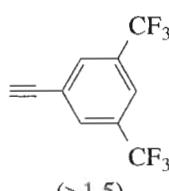
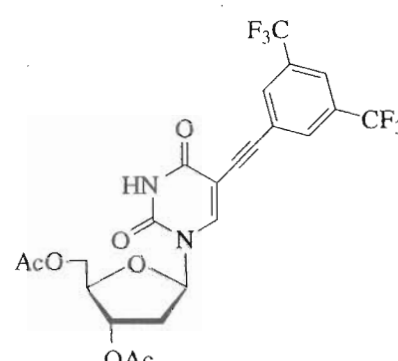
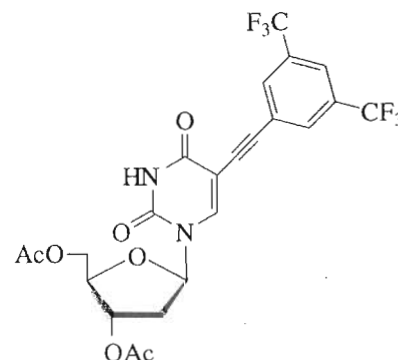
1	2	3	4	5	6	7
34b		Pd(PPh ₃) ₄ CuI Et ₃ N (0.05) (0.1) (1.5)	8 ч при 20°C в DMF		51 ^{2*}	83
	"	Pd(PPh ₃) ₄ CuI Et ₃ N (0.1) (0.2) (1.2)	4 ч при 20°C в DMF		21	80 ^{2*}

Таблица 4. (Продолжение)

1	2	3	4	5	6	7
34c		 (>1.5)	Pd(PPh ₃) ₄ (0.05) CuI (0.1) Et ₃ N (1.5) 10 ч при 20°C в DMF	 R =	43 ^{2*}	
34d		 (>1.5)	Pd(PPh ₃) ₄ (0.05) CuI (0.1) Et ₃ N (1.5) 10 ч при 20°C в DMF	 R =	31 ^{2*}	

Таблица 4. (Продолжение)

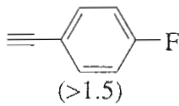
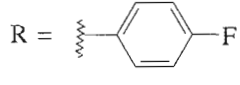
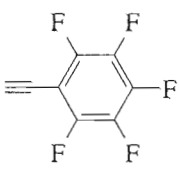
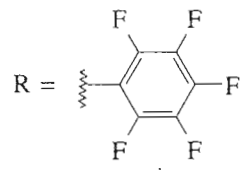
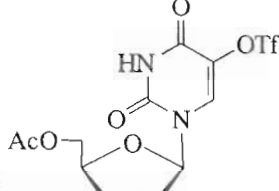
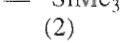
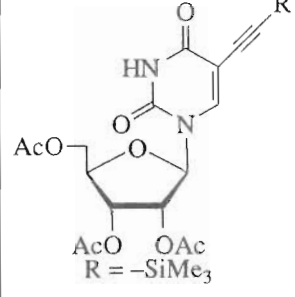
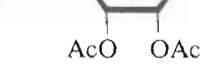
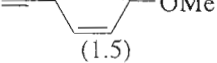
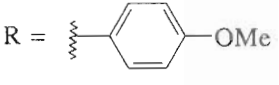
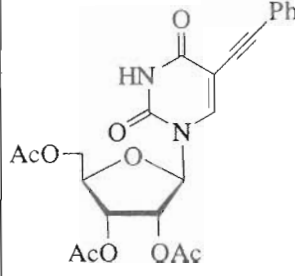
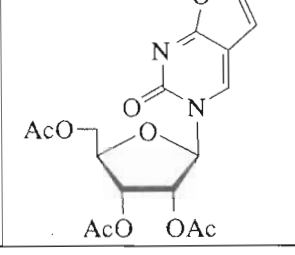
1	2	3	4	5	6	7
34e		 (>1.5)	Pd(PPh ₃) ₄ (0.05) CuI (0.1) Et ₃ N (1.5) 8 ч при 20°C в DMF	R = 	50 ^{2*}	
		» (2–2.5)	Pd(PPh ₃) ₄ (0.1) CuI (0.2) Et ₃ N (1.2) 3 ч при 38°C в DMF	»	87 ^{2*}	
34f		 F F F F	Pd(PPh ₃) ₄ (0.1) CuI (0.2) Et ₃ N (1.1) 5 ч при 55°C в DMF	R = 	87 ^{2*}	
35a		 (2)	Pd(PPh ₃) ₄ (0.05) CuI (0.1) Et ₃ N (1.5) 2.5 ч при 45°C в DMF	 R = -SiMe ₃	85 ^{2*}	
35b		 (1.5)	Pd(PPh ₃) ₄ (0.05) CuI (0.1) Et ₃ N (1.5) 0.5 ч при 55°C в DMF	R = 	90 ^{2*}	
35c		 (1.5)		R = 	97 ^{2*}	
35d		 (1.5)	Pd(PPh ₃) ₄ (0.05) CuI (0.1) Et ₃ N (1.5) 2 ч при 45°C в DMF	 R = 	93 ^{2*}	5

Таблица 4. (Продолжение)

1	2	3	4	5	6	7
36a			Pd(PPh ₃) ₄ (0.05) CuI (0.1) Et ₃ N (1.5) 2 ч при 50°C в DMF	 R = -SiMe ₃	87 ^{3*}	
36b			Pd(PPh ₃) ₄ (0.1) CuI (0.2) Et ₃ N (1.2) 4 ч при 40°C в DMF	 R = -(C6F5)	76 ^{2*}	
36c			Pd(PPh ₃) ₄ (0.1) CuI (0.2) Et ₃ N (1.2) 3 ч при 80°C в DMF	 R = -(C(F)(F)2)2	89 ^{2*}	
36d			Pd(PPh ₃) ₄ (0.05) CuI (0.1) Et ₃ N (1.5) 2 ч при 50°C в DMF	 R = Ph	88 ^{2*}	
36e			Pd(PPh ₃) ₄ (0.05) CuI (0.1) Et ₃ N (1.5) 2 ч при 65°C в DMF	 R = -(C6H5O)	95 ^{2*}	
37a			PdCl ₂ (0.1) PPPh ₃ (0.2) CuI (0.2) Et ₃ N (2.9) 2 ч при 40°C в THF	 BzO- R = -SiMe ₃	75 ^{2*}	55
37b				 BzO- OBz R = -CH ₂ OAc	62 ^{2*}	
38					-	35
39			Pd(PPh ₃) ₂ Cl ₂ CuI Et ₃ N затем CH ₃ OH/H ₂ O		-	

Таблица 4. (Продолжение)

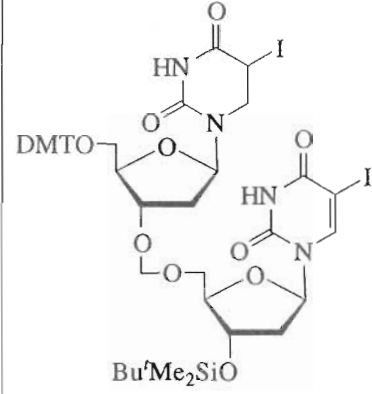
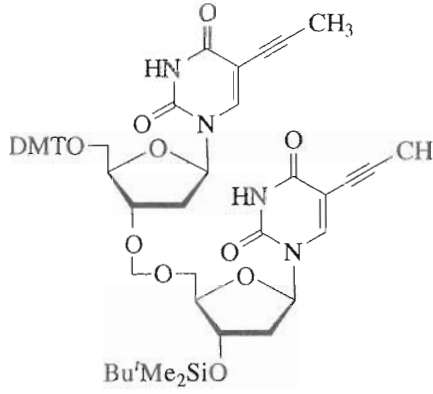
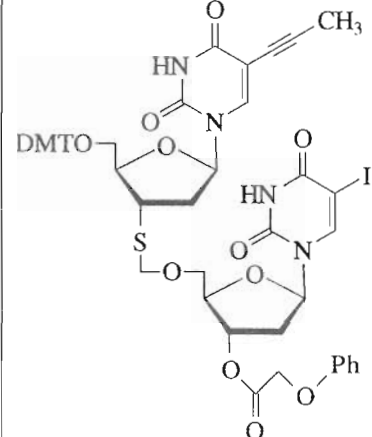
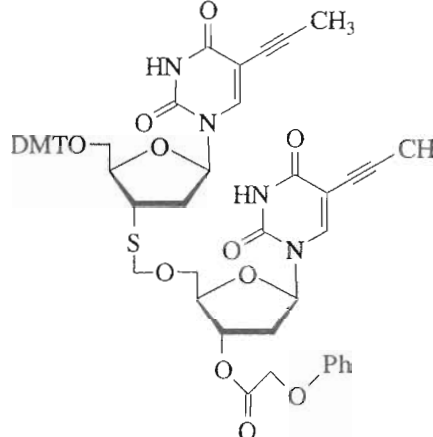
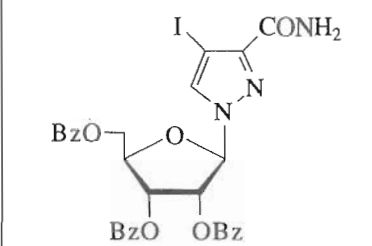
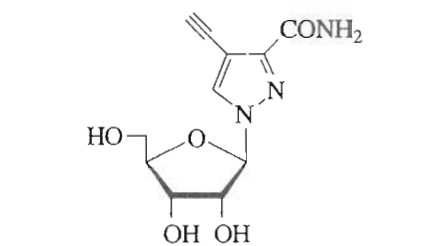
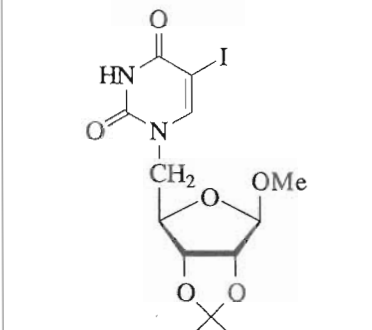
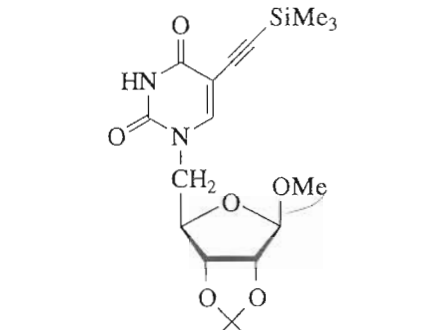
1	2	3	4	5	6	7
40		$\equiv\text{CH}_3$			>90	
41			Pd(PPh ₃) ₄ CuI Et ₃ N в DMF		84	-
42		$\equiv\text{SiMe}_3$	Условия как в [58], затем NH_3/MeOH		82	85
43			Pd(PPh ₃) ₂ Cl ₂ CuI в Et ₃ N		71	86

Таблица 4. (Продолжение)

1	2	3	4	5	6	7
44a		$\equiv\text{CH}_3$	Pd(PPh ₃) ₂ Cl ₂ (0.1) CuI (0.1) 3.5 ч при 60°C в Et ₃ N-MeCN, 10 : 3		58 ^{2*}	87
44b		$\equiv\text{Ph}$ (3)		R = Ph	82 ^{2*}	
44c		$\equiv\text{SiMe}_3$ (3)		R = -SiMe ₃	58 ^{2*}	
45a		$\equiv\text{CH}_3$			29 ^{2*}	
45b		$\equiv\text{Ph}$ (3)		R = Ph	40 ^{2*}	
45c		$\equiv\text{SiMe}_3$ (3)		R = -SiMe ₃	49 ^{2*}	
46a		$\equiv\text{CH}_2\text{NH}_2\text{Boc}$ (3)	Pd(PPh ₃) ₄ (0.1) CuI (0.2) Et ₃ N (2) 5 ч при к.т. в DMF		47 ^{3*}	88

Таблица 4. (Продолжение)

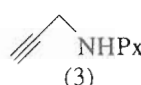
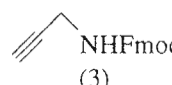
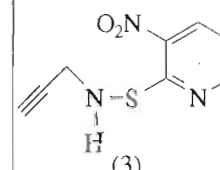
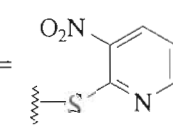
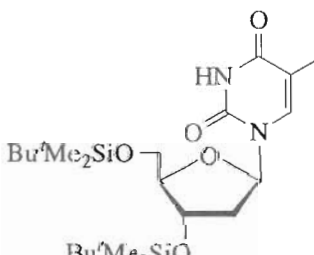
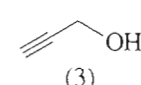
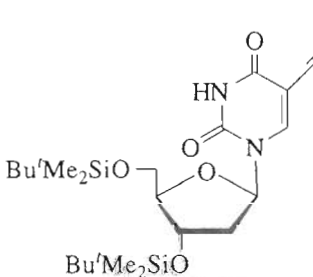
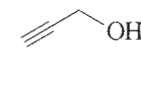
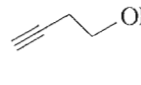
1	2	3	4	5	6	7
46b		 (3)		R = Px	76 ^{2*}	
46c		 (3)		R = Fmoc	~7*	
46d		 (3)		R = 	~7*	
47a		 (3)	Pd(PPh ₃) ₄ CuI Et ₃ N 2 ч при к.т. в DMF, N ₂ (0.1) (0.2) (2)	 R = -CH ₂ OH	67 ^{3*} 89	
47b		 	Pd(PPh ₃) ₄ CuI Et ₃ N в DMF	»	~70 90	
				R = -(CH ₂) ₂ OH	~70	

Таблица 4. (Продолжение)

1	2	3	4	5	6	7
48			Pd(PPh ₃) ₄ CuI Et ₃ N 20 ч в DMF		80 91	
49			Pd(PPh ₃) ₂ Cl ₂ (0.05) CuI (0.1) Et ₃ N (2) 2–3 ч в DMF, Ar		83 ^{2*} 77	
50			—		— 92	
51			Pd(PPh ₃) ₂ Cl ₂ (0.02) CuI (0.08) 8 ч при 50°C в Et3N-DMF, 13 : 1		74 ^{3*}	
52			Pd(PPh ₃) ₂ Cl ₂ (0.03) CuI (0.11) 60 ч при к.т. в Et3N		58 ^{3*}	

Таблица 4. (Продолжение)

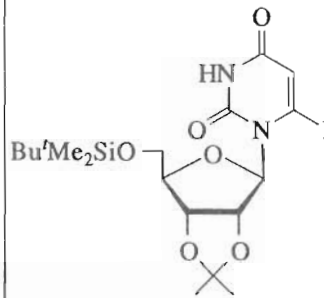
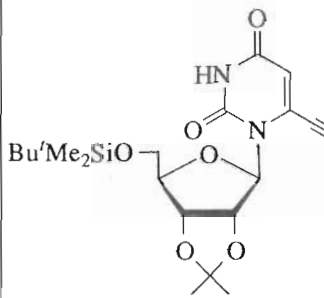
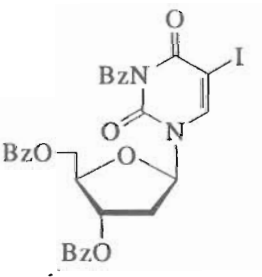
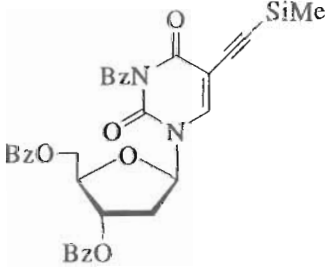
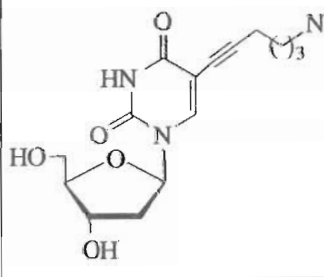
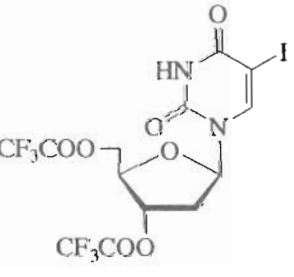
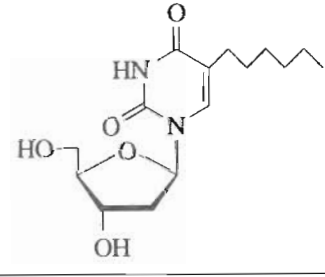
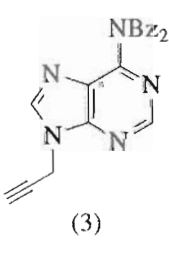
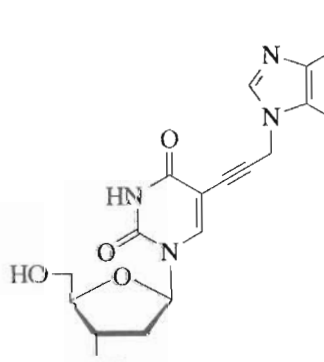
1	2	3	4	5	6	7
53		$\equiv\text{SiMe}_3$ (3.3)	Pd(PPh ₃) ₂ Cl ₂ (0.02) CuI (0.06) 1 ч при к.т., затем 2 ч при 80°C в Et ₃ N		Bu'Me ₂ SiO	68 ^{3*} 94
54		$\equiv\text{SiMe}_3$ (2)	Pd(PPh ₃) ₂ Cl ₂ (0.1) CuI (0.2) Et ₃ N (3) 15 мин при к.т. в THF, Ar			78 ^{3*} 95
55a		$\equiv\text{CH}_2\text{CH}_2\text{NHCOCF}_3$ (3)	Pd(PPh ₃) ₄ (0.07) CuI (0.14) Et ₃ N (3) 24 ч при к.т. в DMF			78 ^{3*} 79
55b		$\equiv\text{CH}_2\text{CH}_2$ (3)	Pd(PPh ₃) ₄ (0.1) CuI (0.2) Et ₃ N (3) 20 ч при к.т. в DMF, затем Pd/C, H ₂ 48 ч при к.т. в MeOH			47 ^{3*}
55c			Pd(PPh ₃) ₄ (0.2) CuI (0.4) Et ₃ N (2) 48 ч при к.т. в DMF, затем HCO ₃ ⁻			80 ^{3*} 96

Таблица 4. (Продолжение)

1	2	3	4	5	6	7
56		$\equiv \text{CH}_3$	Pd(<i>PPh</i> ₃) ₂ Cl ₂ CuI (0.024) (0.076) 20.5 ч при к.т. в MeCN-Et ₃ N, 3 : 1		24 ^{3*}	
57			Pd(<i>PPh</i> ₃) ₂ Cl ₂ CuI (0.021) (0.08) 21 ч при к.т. в MeCN-Et ₃ N, 1 : 1		47 ^{3*}	
58			Pd(<i>PPh</i> ₃) ₂ Cl ₂ CuI (0.01) (0.032) 3 ч при к.т. в MeCN-Et ₃ N, 1 : 1		1.86 ^{3*}	12

Таблица 4. (Продолжение)

1	2	3	4	5	6	7
59			Pd(PPh3)2Cl2 (0.1) CuI (0.2) Et3N (4.5) 16 ч при 60°C в MeCN		83 ^{3*}	97
60a			Pd(PPh3)2Cl2 (0.05) CuI (0.05) Et3N (1.2) 1 ч при к.т. в диоксане, Ar		85 ^{2*}	
60b					92 ^{2*}	
60c					86 ^{2*}	
60d					92 ^{2*}	
60e					84 ^{2*}	63
60f					89 ^{2*}	
60g					91 ^{2*}	
60h					86 ^{2*}	
60i					93 ^{2*}	
60j					91 ^{2*}	

Таблица 4. (Продолжение)

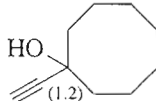
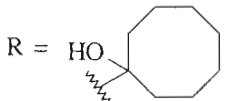
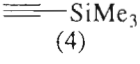
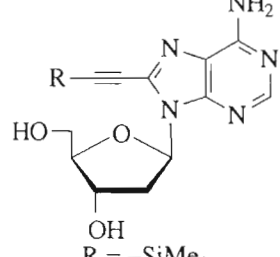
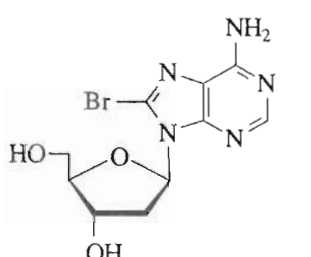
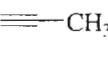
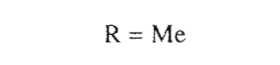
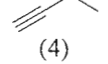
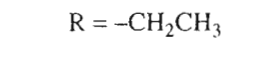
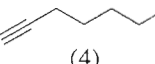
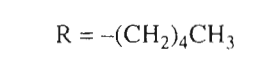
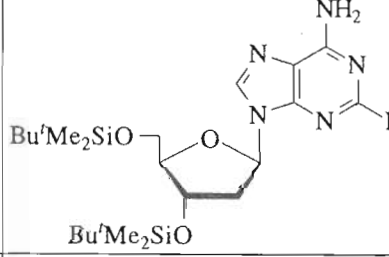
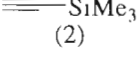
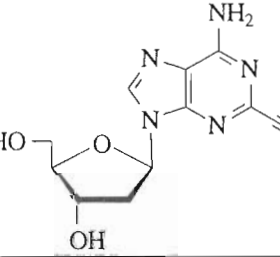
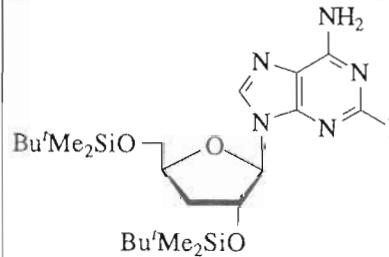
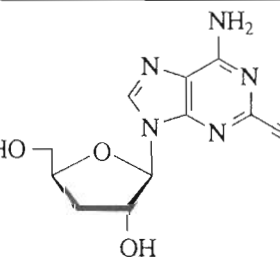
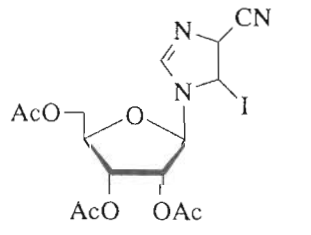
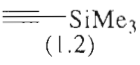
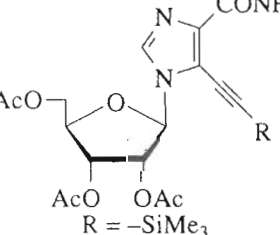
1	2	3	4	5	6	7
60k					89 ^{2*}	
61a			Pd(PPh3)2Cl2 (0.1) CuI (0.2) Et3N (2.0) 2.5 ч при к.т. в DMF, N2		69 ^{3*}	
61b			Pd(PPh3)2Cl2 (0.1) CuI (0.2) Et3N (2.0) к.т. в DMF, N2		58 ^{3*}	98
61c			Pd(PPh3)2Cl2 (0.1) CuI (0.2) Et3N (2.0) 3 ч при к.т. в DMF, N2		86 ^{3*}	
61d			Pd(PPh3)2Cl2 (0.1) CuI (0.2) Et3N (2.0) 6 ч при к.т. в DMF, N2		81 ^{3*}	
62			Pd(PPh3)2Cl2 (0.05) CuI (0.08) 70 мин при 80°C в DMF-Et3N, 5 : 1, затем Et4NF		77 ^{3*}	
63					72 ^{2*}	
64a			Pd(PhCN)2Cl2 (0.05) Et3N (1.2) 5 ч при 100°C в MeCN, Ar		76 ^{2*}	69

Таблица 4. (Продолжение)

1	2	3	4	5	6	7
64b			Pd(PhCN)2Cl2 (0.05) Et3N (1.2) 2 ч при 100°C в MeCN, Ar	R = -CH2OH	77 ^{2*}	
64c			Pd(PhCN)2Cl2 (0.05) Et3N (1.2) 5.5 ч при 100°C в MeCN, Ar	R = -(CH2)2OH	79 ^{2*}	
64d			Pd(PhCN)2Cl2 (0.05) Et3N (1.2) 3.5 ч при 100°C в MeCN, Ar	R = -(CH2)2CH3	72 ^{2*}	
64e				R = Ph	97 ^{2*}	
65			Pd(PPh3)2Cl2 (0.02) CuI (0.06) 1 ч при к. т., затем 2 ч при 80°C в Et3N		63 ^{3*}	94
66			Pd(PPh3)4 (0.1) CuI (0.2) Et3N (4) 50 мин при к. т. в DMF		91 ^{3*}	100
67			CuI 1 ч при 120°C в DMF		61	31
68			Pd(PPh3)4 (0.1) CuI (0.2) Et3N (4) 24 ч при к. т. в DMF, Ar		35 ^{3*}	101

Таблица 4. (Продолжение)

1	2	3	4	5	6	7
69			Pd(PPh ₃) ₂ Cl ₂ (0.1) CuI Et ₃ N (1.2) 2 ч при 70°C в DMF, Ar		99 ^{3*}	102
70					84 ^{3*}	
71a			Pd(PPh ₃) ₂ Cl ₂ (0.02) CuI Et ₃ N (1.2) 24 ч в MeCN-Et ₃ N, Ar		65 ^{2*}	103
71b				R =	92 ^{2*}	
71c				R =	60 ^{2*}	
71d				R =	95 ^{2*}	

Таблица 4. (Продолжение)

1	2	3	4	5	6	7
71e				$R = \text{---} \begin{array}{c} \text{N} \\ \\ \text{C}_2\text{H}_5\text{CH}_2\text{N} \\ \\ \text{Me} \end{array}$	67 ^{2*}	
71f				$R = \text{---} \begin{array}{c} \text{N} \\ \\ \text{C}_2\text{H}_5\text{CH}_2\text{O} \\ \end{array}$	88 ^{2*}	
71g				$R = \text{---} \begin{array}{c} \text{N} \\ \\ \text{C}_2\text{H}_5\text{CH}_2\text{S} \\ \end{array}$	82 ^{2*}	
72a			Pd(PPh ₃) ₂ Cl ₂ (0.02) CuI (0.005) Et ₃ N 16 ч при к. т. в MeCN-DMF, N ₂		95 ^{3*}	104
72b			PdCl ₂ (0.05) PPh ₃ (0.12) CuI (0.08) 16 ч при к. т. в MeCN-Et ₃ N, 2 : 1		70 ^{2*}	
72c					70 ^{2*}	64
72d					65 ^{2*}	
72e					68 ^{2*}	
72f			Pd(PPh ₃) ₂ Cl ₂ (0.02) CuI (0.005) Et ₃ N 3 ч при к. т. в MeCN-DMF, N ₂		52 ^{2*}	
72g			Pd(PPh ₃) ₂ Cl ₂ (0.02) CuI (0.005) Et ₃ N 20 ч при к. т. в MeCN-DMF, N ₂		70 ^{2*}	104
72h					57 ^{2*}	

Таблица 4. (Продолжение)

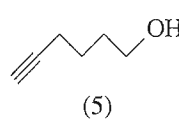
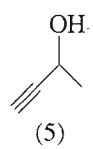
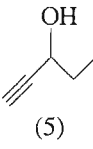
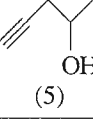
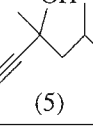
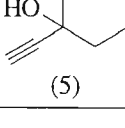
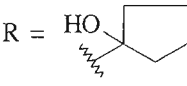
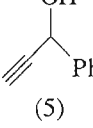
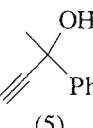
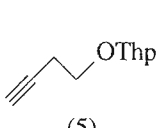
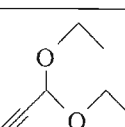
1	2	3	4	5	6	7
72i			Pd(PPh ₃) ₂ Cl ₂ (0.02) CuI (0.005) Et ₃ N 24 ч при 40°C в MeCN–DMF, N ₂	R = -(CH ₂) ₄ OH	69 ^{2*}	
72j			Pd(PPh ₃) ₂ Cl ₂ (0.02) CuI (0.005) Et ₃ N 20 ч при к. т. в MeCN–DMF, N ₂	R = -CH(OH)CH ₃	52 ^{2*}	
72k			Pd(PPh ₃) ₂ Cl ₂ (0.02) CuI (0.005) Et ₃ N 5 ч при к. т. в MeCN–DMF, N ₂	R = -CH(OH)CH ₂ CH ₃	37 ^{2*}	
72m				R = -CH ₂ CH(OH)CH ₃	39 ^{2*}	
72n				R = -C(OH)(CH ₃)CH ₂ CH(CH ₃) ₂	41 ^{2*}	
72p				R = HO 	30 ^{2*}	
72q			Pd(PPh ₃) ₂ Cl ₂ (0.02) CuI (0.005) Et ₃ N 20 ч при к. т. в MeCN–DMF, N ₂	R = -CH(OH)Ph	67 ^{2*}	
72r				R = -CH(OH)(Ph)CH ₃	75 ^{2*}	
72s			Pd(PPh ₃) ₂ Cl ₂ (0.02) CuI (0.005) Et ₃ N 48 ч при к. т. в MeCN–DMF, N ₂	R = -(CH ₂) ₂ OThp	70 ^{2*}	
72t			Pd(PPh ₃) ₂ Cl ₂ (0.02) CuI (0.005) Et ₃ N 48 ч при 40°C в MeCN–DMF, N ₂	R = -CH(OCH ₂ CH ₃) ₂	56 ^{2*}	

Таблица 4. (Продолжение)

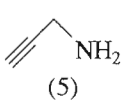
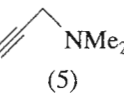
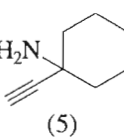
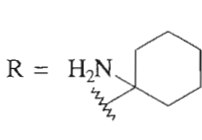
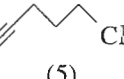
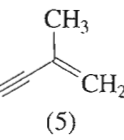
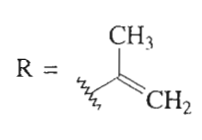
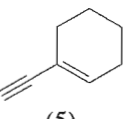
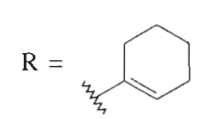
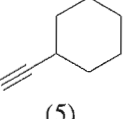
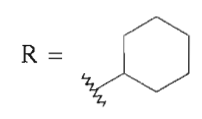
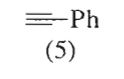
1	2	3	4	5	6	7
72u			Pd(PPh ₃) ₂ Cl ₂ (0.02) CuI (0.005) Et ₃ N 36 ч при к. т. в MeCN-DMF, N ₂	R = -CH ₂ NH ₂	52 ^{2*}	
72v			Pd(PPh ₃) ₂ Cl ₂ (0.02) CuI (0.005) Et ₃ N 20 ч при к. т. в MeCN-DMF, N ₂	R = -CH ₂ NMe ₂	61 ^{2*}	
72w			Pd(PPh ₃) ₂ Cl ₂ (0.02) CuI (0.005) Et ₃ N 30 ч при к. т. в MeCN-DMF, N ₂	R = 	76 ^{2*}	
72x			Pd(PPh ₃) ₂ Cl ₂ (0.02) CuI (0.005) Et ₃ N 20 ч при к. т. в MeCN-DMF, N ₂	R = -(CH ₂) ₃ Cl	52 ^{2*}	
72y			Pd(PPh ₃) ₂ Cl ₂ (0.02) CuI (0.005) Et ₃ N 48 ч при к. т. в MeCN-DMF, N ₂	R = -(CH ₂) ₃ CN	65 ^{2*}	
72z			Pd(PPh ₃) ₂ Cl ₂ (0.02) CuI (0.005) Et ₃ N 20 ч при к. т. в MeCN-DMF, N ₂	R = 	65 ^{2*}	
72aa			Pd(PPh ₃) ₂ Cl ₂ (0.02) CuI (0.005) Et ₃ N 3 ч при к. т. в MeCN-DMF, N ₂	R = 	75 ^{2*}	
72bb			Pd(PPh ₃) ₂ Cl ₂ (0.02) CuI (0.005) Et ₃ N 6 ч при к. т. в MeCN-DMF, N ₂	R = 	68 ^{2*}	
72cc			Pd(PPh ₃) ₂ Cl ₂ (0.02) CuI (0.005) Et ₃ N 2 ч при к. т. в MeCN-DMF, N ₂	R = Ph	60 ^{2*}	103

Таблица 4. (Продолжение)

1	2	3	4	5	6	7
72dd			Pd(PPh ₃) ₂ Cl ₂ (0.02) CuI (0.005) Et ₃ N 3 ч при к. т. в MeCN-DMF, N ₂	R =	50 ^{2*}	103
72ee			Pd(PPh ₃) ₂ Cl ₂ (0.02) CuI (0.005) Et ₃ N 20 ч при к. т. в MeCN-DMF, N ₂	R =	55 ^{2*}	
72ff			Pd(PPh ₃) ₂ Cl ₂ (0.02) CuI (0.005) Et ₃ N 36 ч при 40°C в MeCN-DMF, N ₂	R =	50 ^{2*}	
72gg			Pd(PPh ₃) ₂ Cl ₂ (0.02) CuI (0.005) Et ₃ N 6 ч при к. т. в MeCN-DMF, N ₂	R =	80 ^{2*}	
72hh			Pd(PPh ₃) ₂ Cl ₂ (0.02) CuI (0.005) Et ₃ N 4 ч при к. т. в MeCN-DMF, N ₂	R =	80 ^{2*}	
72ii			Pd(PPh ₃) ₂ Cl ₂ (0.02) CuI (0.005) Et ₃ N 16 ч при к. т. в MeCN-DMF, N ₂	R =	55 ^{2*}	
72jj			Pd(PPh ₃) ₂ Cl ₂ (0.02) CuI (0.005) Et ₃ N 20 ч при к. т. в MeCN-DMF, N ₂	R =	60 ^{2*}	
72kk				R =	65 ^{2*}	
72mm				R =	88 ^{2*}	
72nn			Pd(PPh ₃) ₂ Cl ₂ (0.02) CuI (0.005) Et ₃ N 5 ч при к. т. в MeCN-DMF, N ₂	R =	48 ^{2*}	

Таблица 4. (Продолжение)

1	2	3	4	5	6	7
72pp			Pd(PPh ₃) ₂ Cl ₂ (0.02) CuI (0.005) Et ₃ N 20 ч при к. т. в MeCN-DMF, N ₂	R =	45 ^{2*}	
72qq			Pd(PPh ₃) ₂ Cl ₂ (0.02) CuI (0.005) Et ₃ N 4 ч при к. т. в MeCN-DMF, N ₂	R = BzI	53 ^{2*}	
72rr			Pd(PPh ₃) ₂ Cl ₂ (0.02) CuI (0.005) Et ₃ N 16 ч при к. т. в MeCN-DMF, N ₂	R = -(CH ₂) ₂ Ph	53 ^{2*}	
73a			Pd(PPh ₃) ₄ (0.1) CuI (2) Et ₃ N 6 ч при к. т. в DMF, Ar		39 ^{2*}	
73b			Pd(PPh ₃) ₄ (0.1) CuI (2) Et ₃ N 7 ч при к. т. в DMF, Ar	R = -(CH ₂) ₃ CH ₃	48 ^{2*}	
73c				R = -(CH ₂) ₄ CH ₃	39 ^{2*}	105
73d			Pd(PPh ₃) ₄ (0.1) CuI (2) Et ₃ N 5 ч при к. т. в DMF, Ar	R = Ph	50 ^{2*}	
73e			Pd(PPh ₃) ₄ (0.1) CuI (2) Et ₃ N 11 ч при к. т. в DMF, Ar	R =	55 ^{2*}	
73f			Pd(PPh ₃) ₄ (0.1) CuI (2) Et ₃ N 3 ч при к. т. в DMF, Ar	R = -(CH ₂) ₂ OThp	59 ^{2*}	
73g				R = -SiMe ₃	54 ^{2*}	

Таблица 4. (Продолжение)

1	2	3	4	5	6	7
73h			Pd(PPh3)4 CuI Et3N 4 ч при к.т. в DMF, Ar	R = -CH2SiMe3	49 ^{2*}	
73i			Pd(PPh3)4 CuI Et3N 7 ч при к.т. в DMF, Ar	R = -(CH2)4C≡CH	58 ^{2*}	
73j				R =	62 ^{2*}	
73k			Pd(PPh3)4 CuI Et3N 18 ч при к.т. в DMF, Ar	R =	58 ^{2*}	
74a			Pd(PPh3)2Cl2 CuI Et3N 55°C в DMF, N2		106	
74b				R =	68–75 ^{2*}	
74c				R =		

Таблица 4. (Продолжение)

1	2	3	4	5	6	7
74d				<p>R = -CH(OH)Ph</p>		
74e		<p>(1.4)</p>	Pd(PPh ₃) ₂ Cl ₂ (0.06) CuI (0.011) Et ₃ N (2.8) 6 ч при 55°C в DMF, N ₂		<p>R = 4-methoxyphenyl</p>	68–75 ^{3*}
75			Pd(PPh ₃) ₄ (0.1) CuI (0.2) Et ₃ N ночь при к.т. в DMF		85	107
76a		<p>(3)</p>	Pd(PPh ₃) ₂ Cl ₂ (0.05) CuI (0.05) Et ₃ N (3.6) 1.5 ч при к.т. в THF, Ar	<p>R = -(CH₂)₃CH₃</p>	88 ^{3*}	
76b		<p>(2)</p>	Pd(PPh ₃) ₂ Cl ₂ (0.05) CuI (0.05) Et ₃ N (3.6) 2 ч при к.т. в THF, Ar		50 ^{2*}	108
76c		<p>(2)</p>	Pd(PPh ₃) ₂ Cl ₂ (0.05) CuI (0.05) Et ₃ N (3.6) 1.5 ч при к.т. в THF, Ar		R = -(CH ₂) ₃ OSiMe ₂ Bu'	57 ^{2*}
76d		<p>(5)</p>	Pd(PPh ₃) ₂ Cl ₂ (0.05) CuI (0.05) Et ₃ N (3.6) 0.75 ч при к.т. в THF, Ar		R = -SiMe ₃	80 ^{2*}

Таблица 4. (Окончание)

1	2	3	4	5	6	7
76e			Pd(PPh ₃) ₂ Cl ₂ (0.05) CuI (0.05) Et ₃ N (3.6) 1.25 ч при к.т. в THF, Ar, затем 1 M HCl		69 ^{2*}	
76f				R = -(CH ₂) ₃ CO ₂ H	68 ^{2*}	
77			Pd(PPh ₃) ₄ (0.1) CuI (0.2) Et ₃ N (2) 4 ч при к.т. в DMF		75, 23 ^{2*} , 78, 80	
78a		I-C≡C-Ph (1.3)	Pd(PPh ₃) ₄ (0.01) CuI (0.02) Et ₃ N (2) 80°C в DMF		77 ^{2*}	109
78b		I-C≡C-SiMe ₃ (1.3)		R = -SiMe ₃	69 ^{2*}	

* Количество алкина, катализаторов и основания, если эти данные имеются в литературном источнике, приведено в эквивалентах в расчете на нуклеозид.

^{2*} Приведена общая методика.

^{3*} Приведена методика синтеза.

^{4*} В расчете на ацетилен.

^{5*} В качестве водорастворимого катализатора использован комплекс Pd[PPh₂(μ -C₆H₄SO₃M)]₃ (M – щелочной металл), синтезированный как описано в работе [76].

^{6*} Выход определен с помощью ВЭЖХ без выделения вещества.

^{7*} Не удалось выделить либо полностью очистить вещество с помощью хроматографии.

^{8*} Выход определен с помощью ¹Н-ЯМР-спектроскопии без выделения вещества.

выходы при этом уменьшаются незначительно (ср. № 11a и 10a, 11b и 10b в табл. 4). Авторы обнаружили, что наличие заместителя в положении 9 пуринов способствует гладкому протеканию реакции – для 9-незамещенных галогенпуринов выходы были значительно хуже (№ 4–7 в табл. 3). 8-Алкинилпурины предложено получать кислотным гидролизом (0.1 M HCl в метаноле) соответствующих нуклеозидов [36].

Робинс с сотр. [46] синтезировали 5-пропинил-5-метоксипропинил-2'-дезоксиуридин (№ 5n, р в табл. 4) и некоторые 5-алкинильные производные арабино-уридуна (агаД) (№ 13a–d в табл. 4); для последних побочная реакция циклизации в фуро[2,3-d]пиrimидин-2-оны более характерна. Гудчайлд с сотр. [54] применил катализ Pd(PPh₃)₄/CuI для синтеза 5-пропинил-dU, однако выход продукта в этом случае после 3',5'-O-дез-

ацилирования составил всего 60% (№ 14а в табл. 4). В работе [7] отмечается, что при взаимодействии 1-(2,3,5-три-O-ацетил- β -D-арабинофуранозил)-5-иодурацила с триметилсилиацетиленом в CH_2Cl_2 - Et_3N наблюдается частичное (~20%) десилирирование, а в результате последующей хроматографии на силикагеле с высоким выходом выделен лишь десилированный продукт реакции (№ 15а в табл. 4). Для синтеза 5-этинил-2'-дезокси-2'-фтор-арабино-уридина(цитидина) использовали предварительное O-силирирование исходных 5-иоднуклеозидов, чтобы увеличить растворимость [59] (№ 16 и 17 в табл. 4). Миасака с сотр. получили некоторые 2-алкиниладенозины [60] (№ 18а-g в табл. 4) и 6-алкинил-2'-дезоксиуридины [32] (№ 19а-d в табл. 4). Были синтезированы 5-этинилированные аналоги 1-[$(1\alpha, 3\beta, 4\alpha)$ -3-гидрокси-4-(гидроксиметил)циклопентил]урацила (карба-dU) [65] (№ 20 в табл. 4) и арабино-цитидина (агаC) [66] (№ 21 в табл. 4). В синтезе некоторых 5-алкинильных аналогов 2'-дезоксицитидина [67] (№ 22а, б в табл. 4) было применено тетразопропилдисилоксановое блокирование 3'- и 5'-гидроксидов (защита Маркевича).

Алкинилирование иодпроизводного имидазольного нуклеозида (№ 23а-h в табл. 4) является тем необычным случаем, когда добавка в реакционную смесь CuI снижает выход продукта (см. № 23а) [68, 69]. В качестве катализатора был взят $\text{Pd}(\text{PhCN})_2\text{Cl}_2$, дававший лучшие выходы, чем другие Pd(II)-производные [69]. Интересно, что в условиях реакции происходит десилирирование алкина, так что с триметилсилиацетиленом был выделен только продукт бис-сочетания (№ 23f). Триметилсилиэтильный аналог был получен лишь при проведении реакции в отсутствие Et_3N , причем для сочетания был взят трибутилстанилтриметилсилиацетилен (№ 23g). По-видимому, соседняя карбоксамидная группа играет существенную роль в процессе десилирирования алкина, поскольку с соответствующим нитрильным аналогом был получен нормальный продукт сочетания и в присутствии Et_3N (№ 64а в табл. 4) [69]. Косвенно такое предположение подтверждается тем, что для другого о-карбоксамидного производного пиразольного нуклеозида (№ 42 в табл. 4) промежуточный силированный алкин (прямой продукт сочетания), вопреки обычной практике, не выделяли [85].

При взаимодействии 5-иод-5'-O-DMT-2'-дезоксиуридина с трифторацетилпропаргиламином был получен умеренный выход алкинилированного продукта [70] (№ 24а в табл. 4). Следует также отметить сочетание еще двух N-блокированных пропаргиламинов по положению 5' дезоксиуридина [48, 72] (№ 5q и 25а в табл. 4). Во втором случае в реакцию вводили O-незащищенный нуклеозид, а в качестве растворителя использовали кипящий метанол.

Хопкинс с сотр. [73, 74] применяли катализ $\text{Pd}(\text{PPh}_3)_4/\text{CuI}$ и DMF в качестве растворителя для сочетания 5-иод-2'-дезоксиуридина с нитроксильными производными алкинов (№ 25b, с в табл. 4). Одновременно Хоббс [42] опубликовал результаты синтеза в сходных условиях ряда пропаргиламиновых и других ω -аминоалкилэтильных производных пиримидиновых (по C5) и 7-дезазапуриновых (по C7) нуклеозидов, в том числе 2',3'-дидезоксинуклеозидов (№ 2b, 25d, 26a, 27-30 в табл. 4).

5'-Трифосфаты на основе таких 2',3'-дидезоксинуклеозидов, содержащие присоединенную по алифатической аминогруппе флуоресцентную метку, находят применение в качестве терминаторов репликации в системе автоматизированного секвенирования ДНК фирмы Du Pont [112]. Хоббс [42] указал, что при использовании $\text{Pd}(\text{PPh}_3)_4/\text{CuI}$ и DMF можно вводить в реакцию O-незащищенные нуклеозиды, причем Pd(0)-катализатор обеспечивает более высокие выходы, чем $\text{Pd}(\text{PPh}_3)_2\text{Cl}_2$. Другие сотрудники фирмы Du Pont описали синтез водорастворимых – в отличие от тетракис(трифенилfosфин)пallадия – Pd(0)-катализаторов на основе сульфонатного производного трифенилфосфина и их использование для сочетания галогеннуклеозидных производных с алкинами в водно-органических средах [76] (№ 25e, 31a, b, 32 в табл. 4). Вскоре Робинс [82] обнаружил, что успех в использовании O-незащищенных нуклеозидных аналогов в реакции сочетания с алкинами [42] определяется удачным выбором растворителя (DMF), а вовсе не Pd(0)-катализатором: менее дорогой и более стабильный $\text{Pd}(\text{PPh}_3)_2\text{Cl}_2$ дает почти такие же выходы (меньше на 3%) в случае аналогов уридина, цитидина и аденоцина и лишь в случае аналога гуанозина выход был меньше на 13% (№ 28-30, 33 в табл. 4). Кроме того, в среде DMF из пиримидиновых оснований практически не образуется продуктов циклизации.

В 90-х годах наблюдается резкое увеличение числа публикаций по синтезу алкинилированных нуклеозидов, что связано с появлением новых потенциальных областей их применения. Среди синтетических работ этого периода следует выделить статью [83], в которой исследовано сочетание производных 5-(трифторметансульфонилокси)уридина с алкинами (№ 34а-f, 35а-d, 36а-e в табл. 4). В качестве Pd-катализатора помимо упомянутых выше можно использовать PdCl_2 в присутствии PPh_3 , CuI и Et_3N [55], однако высоких выходов достичь при этом не удается (№ 14c, 37а, б в табл. 4).

В табл. 4 можно найти также другие примеры синтезов алкинилированных нуклеозидов и их аналогов. Так, были получены ферrocенилэтильные нуклеозидные производные (№ 7k, 38, 39) [35], динуклеозидные алкинильные производные

(№ 40, 41) [84], алкинильный пиразольный нуклеозид (№ 42) [85], “обращенный” нуклеозид (№ 43) [86], ациклические нуклеозиды (44а-с, 45а-с, 74а-е, 77) [87].

Зеела [105] получил умеренные выходы при алкинилировании 7-иод-7-дезаза-2'-дезоксиаденозина, хотя при этом использовались большие количества катализатора и 10-кратный избыток алкина (№ 73а-к в табл. 4). Отмечается, что уменьшение количества катализатора снижает выход целевых продуктов.

Итак, реакция Соногаширы, как правило, проходит без осложнений и является удобным методом синтеза 4-, 5- и 6-алкинилированных пиримидиновых и 2-, 6-, 7- и 8-алкинилированных пуриновых нуклеозидов. Однако в отдельных случаях возможны побочные реакции присоединения по тройной связи – гетероциклизация (главным образом 5-алкинилированных уридинов) или гидратация (для некоторых 4-алкинилированных пиридин-2-оновых нуклеозидов). Эти побочные реакции следует описать несколько подробнее.

Еще Кастро с сотр. [15, 16, 113, 114] обнаружили, что если в реакцию с медными солями терми-

нальных алкинов в кипящем пиридине вводить *o*-замещенные иодбензолы, то в том случае, когда заместитель содержит подвижный водород, в качестве продукта реакции удается выделить лишь соответствующий гетероцикл (XVIII) (схема 6).

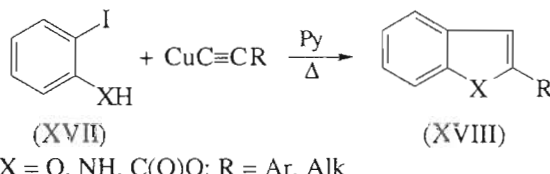


Схема 5.

Гетероциклы часто оказываются основными продуктами превращения субстратов типа (XVII) в условиях реакции Соногаширы, причем соединения палладия катализируют этот процесс [25]. Следует также отметить, что гетероциклизация, как правило, наблюдалась при проведении реакций при повышенной температуре.

Так, Робинс и Барр [44] обнаружили, что гетероциклизация легко протекает при кипячении 1-метил-5-(гексин-1-ил)урацила (XIX) в смеси метанол-триэтиламин в присутствии CuI (схема 7).



Схема 7

Образующийся 6-н-бутил-3-метилфуро[2,3-*d*]пиrimидин-2-он (XX) флуоресцирует. В табл. 4 имеется несколько примеров выделения в качестве побочных продуктов соответствующих флуоресцентных фуро[2,3-*d*]пиrimидин-2-оновых нуклеозидов. Робинс и Барр [45] отметили, что на степень побочной гетероциклизации существенное влияние оказывает природа 3',5'-О-защитных групп: если 5-иод-3',5'-ди-O-*n*-толуил-2'-дезоксиуридин с высокими выходами дает алкины (№ 5а-d, f-p в табл. 4), то 5-иод-3',5'-ди-O-ацетил-2'-дезоксиуридин образует целевой алкин с 80% выходом лишь при взаимодействии с trimетилсилилацетиленом (№ 6а в табл. 4), тогда как с 1-гексином, а также с 4-(*n*-толуилокси)-, 4-(тетрагидролиран-2-илокси) и 4-(тритилокси)бутином-1 в основном протекает гетероциклизация с образованием фуро[2,3-*d*]пиrimидин-2-онов. Соединения этого типа могут также накапливаться в процессе обработки реакционной смеси, вероятно, под действием ионов тяжелых металлов, поэтому сразу по

окончании реакции рекомендуется связывать эти ионы посредством EDTA [45] или H_2S [60]. Как уже отмечено выше, в наименьшей степени способствует гетероциклизации использование DMF в качестве основного компонента реакционной среды [82].

Если циклический продукт типа (XX) необходим, то его можно получить нагреванием алкинильного производного в присутствии основания и CuI (циклизации алкинилированных нуклеозидов будут также рассмотрены в следующем обзоре). Недавно Толстиков с сотр. [115, 116] обнаружили, что если в качестве катализатора взять Pd/C + CuI и вести реакцию алкинированного 5-галоген-ксило-уридина с термическиими алкинами при повышенной температуре, то единственным продуктом оказывается соответствующий фуро[2,3-*d*]пиримидин-2-он, а нормальные продукты сочетания даже не обнаруживаются. В табл. 3 приведены сведения о прямом синтезе бицикли-

Таблица 5. Синтез фуро[2,3-*d*]пиrimидин-2-онов из 5-галоген-*ксило*-уридинов

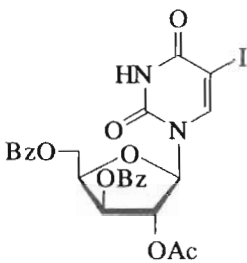
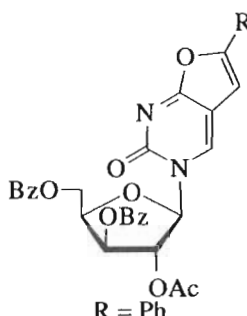
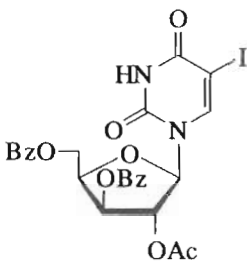
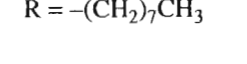
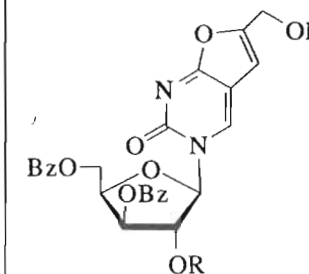
№	Исходный нуклеозид	Алкин*	Условия реакции*	Продукт реакции	Выход, %	Лите-ратура
1	2	3	4	5	6	7
1a		≡Ph (1.05)	10% Pd/C (0.04) PPh ₃ (0.05) CuI (0.05) кипячение 8 ч в Et ₃ N-MeCN, 5 : 3		82*	[115]
		» (1.2)	10% Pd/C (0.04) PPh ₃ (0.05) CuI (0.05) кипячение 5 ч в Et ₃ N-MeCN, 1 : 1			
		» (1.2)	10% Pd/C (0.04) CuI (0.05) кипячение 5 ч в Et ₃ N-MeCN, 1 : 1			
		» (1.2)	10% Pd/C (0.04) CuI (0.05) 100 ч при к.т. в Et ₃ N-MeCN, 1 : 1			
1b		≡(CH ₂) ₇ CH ₃ (1.2)	10% Pd/C (0.04) CuI (0.05) кипячение 5 ч в Et ₃ N-MeCN, 1 : 1		81 ^{2*}	[116]
1c		≡OH (1.2)	10% Pd/C (0.04) CuI (0.05) кипячение 9 ч в Et ₃ N-MeCN, 1 : 1			
		» (1.05)	10% Pd/C (0.04) PPh ₃ (0.05) CuI (0.05) кипячение 8 ч в Et ₃ N-MeCN, 5 : 3		22 ^{2*}	[115]
				$R = R' = \text{Ac}$ $R = \text{Ac}, R' = \text{H}$ $R = R' = \text{H}$	8 ^{2*} 14 ^{2*} 44 ^{2*}	

Таблица 5. Окончание

1	2	3	4	5	6	7
2a			10% Pd/C (0.04) PPh ₃ (0.05) CuI (0.05) кипение 8 ч в Et ₃ N-MeCN, 1 : 1		76 ^{2*}	
2b			10% Pd/C (0.04) CuI (0.05) кипение 8 ч в Et ₃ N-MeCN, 1 : 1		68 ^{2*}	
2c			10% Pd/C (0.04) CuI (0.05) кипение 11 ч в Et ₃ N-MeCN, 1 : 1		61 ^{2*}	
3			10% Pd/C (0.04) CuI (0.05) кипение 18 ч в Et ₃ N-MeCN, 1 : 1		20 ^{2*}	[116]
4			10% Pd/C (0.04) PPh ₃ (0.05) CuI (0.05) кипение 18 ч в Et ₃ N-MeCN, 1 : 1		15 ^{2*}	

* Количество алкина, катализаторов и основания приведено в эквивалентах в расчете на нуклеозид.

^{2*} Приведена общая методика.

ческих продуктов в результате такой реакции. Наличие Ph_3P в реакционной смеси в данном случае не влияет на выход фуропириимицинона. В одном случае при использовании пропаргилового спирта (пример 1с) наблюдалась миграция ацетильной группы с 2'-гидроксила на 6-гидроксиметильную группу в фурановом кольце.

Гидратация, сопровождающая алкинилирование, наблюдалась при взаимодействии 4-хлорпиридин-2-онового нуклеозида с 3-гидроксипропил- или 3-карбоксипропилацетиленом в условиях реакции Соногаширы: в обоих случаях удалось выделить только продукт присоединения воды по тройной связи 4-алкинилированного производного нуклеозида (№ 76е, f в табл. 4). При этом для обоих алкинов характерно наличие ионогенной (гидроксильной или карбоксильной) группы – аналогичные реакции, в которых эти группы были защищены (№ 76б, с), протекали без осложнений.

Галогенированные нуклеозидные субстраты для реакции сочетания можно получать различными способами. Пуриновые нуклеозиды легко бромируются в положение 8 [117, 118]; иодирование пиридиновых нуклеозидов с помощью ICl [7, 119, 120], I_2/HIO_3 [66], $\text{I}^-/(\text{NH}_4)_2\text{Ce}(\text{NO}_3)_6$ [121] дает высокие выходы 5-иодпроизводных. Галогенирование производных уридуна по положительному проводят через промежуточное металлизование действием дизопропиламида лития [122]. 2-Иодаденозин получают из гуанозина [123], причем ключевой стадией является замена аминогруппы О-ацилированного 2-амино-6-хлорпуринового нуклеозида на иод в результате реакции с *n*-амилнитритом и диiodметаном. Описаны методы получения 7-иод-7-дезазапуриновых (дидезокси)нуклеозидов, являющихся исходными веществами в синтезе флуоресцентно меченных терминаторов для систем автоматизированного секвенирования [124].

Описанию реакционной способности, физико-химических и биологических свойств алкинилированных нуклеозидов и их аналогов будет посвящена вторая часть обзора.

Добавлено в корректуру. Работы [125–128] содержат сведения о синтезе алкинилированных нуклеозидов.

Авторы благодарны О. Асеево (Карлсбад, Калифорния), М. Квятковскому (Гурку), Г. Кристали (Камерино), Н. Куанду (Калькутта), А. Матцуде (Саппорто), Я. Саги (Будапешт), К. Свитцеру (Риверсайд, Калифорния), Б. Фрелеру (Фостер Сити, Калифорния), П. Хердевийну (Левен), Р. Шинаци (Декатур, Джорджия) и К. Эгеру (Лейпциг), любезно предоставившим оттиски своих работ.

Работа частично финансировалась Российским фондом фундаментальных исследований (проект № 94-03-08828).

СПИСОК ЛИТЕРАТУРЫ

- Perman J., Sharma R.A., Bobek M. // Tetrahedron Lett. 1976. P. 2427–2430.
- Jones A.S., Walker R.T. // Nucl. Acids Spec. Publ. № 1. 1975. P. sl–s4.
- Barr P.J., Jones A.S., Walker R.T. // Nucl. Acids Res. 1976. V. 3. P. 2845–2849.
- Corey E.J., Fuchs P.L. // Tetrahedron Lett. 1972. P. 3769–3772.
- Jones A.S., Serafinowski P., Walker R.T. // Tetrahedron Lett. 1977. P. 2459–2460.
- Bobek M., Bloch A. // Chemistry and Biology of Nucleosides and Nucleotides / Eds R.E. Harmon, R.K. Robins, L.B. Townsend. N.Y.: Acad. Press, 1978. P. 135–148.
- Sharma R.A., Kawai I., Hughes R.G., Jr., Bobek M. // J. Med. Chem. 1984. V. 27. P. 410–412.
- Barr P.J., Jones A.S., Serafinowski P., Walker R.T. // J. Chem. Soc., Perkin Trans. 1. 1978. P. 1263–1267.
- Rahim S.G., Trivedi N., Bogunovic-Batchelor M.V., Hardy G.W., Mills G., Selway J.W.T., Snowden W., Littler E., Coe P.L., Basnak I., Whale R.F., Walker R.T. // J. Med. Chem. 1996. V. 39. P. 789–795.
- Eger K., Jalalian M., Schmidt M. // Tetrahedron. 1994. V. 50. P. 8371–8380.
- Sharma R.A., Goodman M.M., Bobek M. // J. Carbohyd. Nucleosides Nucleotides. 1980. V. 7. P. 21–34.
- Efange S.M.N., Cheng Y.-C., Bardos T.J. // Nucleosides Nucleotides. 1985. V. 4. P. 545–564.
- Bardos T.J., Cheng Y.-C., Schroeder A.C., Efange S.M.N. // Pat. US 4895937. 1990.
- Bardos T.J., Cheng Y.-C., Schroeder A.C., Efange S.M.N. // Pat. US 4782142. 1988.
- Castro C.E., Stephens R.D. // J. Org. Chem. 1963. V. 28. P. 2163.
- Stephens R.D., Castro C.E. // J. Org. Chem. 1963. V. 28. P. 3313–3315.
- Heck R.F. // Acc. Chem. Res. 1979. V. 12. P. 146–151.
- Heck R.F. // Org. React. 1982. V. 27. P. 345–390.
- Heck R.F. Palladium Reagents in Organic Syntheses. L.: Acad. Press, 1985.
- Cabri W., Candiani I. // Acc. Chem. Res. 1995. V. 28. P. 2–7.
- De Meijere A., Meyer F.E. // Angew. Chem. 1994. B. 106. S. 2473–2506.
- Dieck H.A., Heck F.R. // J. Organometal. Chem. 1975. V. 93. P. 259–263.
- Cassar L. // J. Organometal. Chem. 1975. V. 93. P. 253–257.
- Sonogashira K., Tohda Y., Hagiwara N. // Tetrahedron Lett. 1975. P. 4467–4470.
- Rossi R., Carpita A., Bellina F. // Org. Prep. Proc. Int. 1995. V. 27. P. 127–160.
- Edo K., Sakamoto T., Yamanaka H. // Chem. Pharm. Bull. 1978. V. 26. P. 3843–3850.
- Edo K., Yamanaka H., Sakamoto T. // Heterocycles. 1978. V. 9. P. 271–274.

28. Tanji K., Sakamoto T., Yamanaka H. // Chem. Pharm. Bull. 1982. V. 30. P. 1865–1867.
29. Akita Y., Ohta A. // Heterocycles. 1982. V. 19. P. 329–331.
30. Yamanaka H., Shiraiwa M., Edo K., Sakamoto T. // Chem. Pharm. Bull. 1979. V. 27. P. 270–273.
31. Nair V., Sells T.B. // Tetrahedron Lett. 1990. V. 31. P. 807–810.
32. Tanaka H., Haraguchi K., Koizumi Y., Fukui M., Miyasaka T. // Can. J. Chem. 1986. V. 64. P. 1560–1563.
33. Schroeder A.C., Bloch A., Perman J.L., Bobek M. // J. Med. Chem. 1982. V. 25. P. 1255–1258.
34. Thornburg L.D., Stubbe J. // Biochemistry. 1993. V. 32. P. 14034–14042.
35. Meunier P., Ouattara I., Gautheron B., Tirouflet J., Camboli D., Besançon J. // Eur. J. Med. Chem. 1991. V. 26. P. 351–362.
36. Koyama S., Kumazawa Z., Kashimura N. // Nucl. Acids Symp. Ser. № 11. 1982. P. 41–44.
37. Kundu N.G., Chaudhuri L.N. // J. Chem. Soc., Perkin Trans. 1. 1991. P. 1677–1682.
38. Kundu N.G., Dasgupta S.K. // J. Chem. Soc., Perkin Trans. 1. 1993. P. 2657–2663.
39. Langli G., Gundersen L.-L., Rise F. // Tetrahedron. 1996. V. 52. P. 5625–5638.
40. Bergstrom D., Lin X., Wang G., Rotstein D., Beal P., Norrix K., Ruth J. // Synlett. 1992. P. 179–188.
41. Bergstrom D.E., Ogawa M.K. // J. Am. Chem. Soc. 1978. V. 100. P. 8106–8112.
42. Hobbs F.W., Jr. // J. Org. Chem. 1989. V. 54. P. 3420–3422.
43. CÔNG-Danh N., Beaucourt J.-P., Pichat L. // Tetrahedron Lett. 1979. P. 3159–3162.
44. Robins M.J., Barr P.J. // Tetrahedron Lett. 1981. V. 22. P. 421–424.
45. Robins M.J., Barr P.J. // J. Org. Chem. 1983. V. 48. P. 1854–1862.
46. De Clercq E., Descamps J., Balzarini J., Giziewicz J., Barr P.J., Robins M.J. // J. Med. Chem. 1983. V. 26. P. 661–666.
47. Ötvös L., Szécsi J., Sági J., Kovács T. // Nucl. Acids Symp. Ser. № 18. 1987. P. 125–129.
48. Haralambidis J., Chai M., Tregear G.W. // Nucl. Acids Res. 1987. V. 15. P. 4857–4876.
49. Кориун В.А., Манасова Е.В., Балакин К.В., Прокоренко И.А., Бучацкий А.Г., Берлин Ю.А. // Биоорганическая химия. 1996. Т. 22. С. 923–925.
50. Luyten I., De Winter H., Busson R., Leschinier T., Creuven I., Durant F., Balzarini J., De Clercq E., Herdewijn P. // Helv. Chim. Acta. 1996. V. 79. P. 1462–1474.
51. Vincent P., Beaucourt J.-P., Pichat L. // Tetrahedron Lett. 1981. V. 22. P. 945–947.
52. Vincent P., Beaucourt J.-P., Pichat L., Balzarini J., De Clercq E. // Nucleosides Nucleotides. 1985. V. 4. P. 429–445.
53. Matsuda A., Shinozaki M., Yamaguchi T., Homma H., Nomoto R., Miyasaka T., Watanabe Y., Abiru T. // J. Med. Chem. 1992. V. 35. P. 241–252.
54. Goodchild J., Porter R.A., Raper R.H., Sim I.S., Upton R.M., Viney J., Wadsworth H.J. // J. Med. Chem. 1983. V. 26. P. 1252–1257.
55. Yamamoto Y., Seko T., Nakamura H., Nemoto H., Hojo H., Mukai N., Hashimoto Y. // J. Chem. Soc., Chem. Commun. 1992. P. 157–158.
56. Tolstikov V.V., Stetsenko D.A., Potapov V.K., Sverdlov E.D. // Nucleosides Nucleotides. 1997. V. 16. In press.
57. Nara H., Ono A., Matsuda A. // Bioconjugate Chem. 1995. V. 6. P. 54–61.
58. Robins M.J., Manfredini S., Wood S.G., Wanklin R.J., Rennie B.A., Sacks S.L. // J. Med. Chem. 1991. V. 34. P. 2275–2280.
59. Perlman M.E., Watanabe K.A., Schinazi R.F., Fox J.J. // J. Med. Chem. 1985. V. 28. P. 741–748.
60. Matsuda A., Shinozaki M., Miyasaka T., Machida H., Abiru T. // Chem. Pharm. Bull. 1985. V. 33. P. 1766–1769.
61. Matsuda A., Ueda T. // Nucleosides Nucleotides. 1987. V. 6. P. 85–94.
62. Adah S.A., Nair V. // Tetrahedron Lett. 1995. V. 36. P. 6371–6372.
63. Abiru T., Miyashita T., Watanabe Y., Yamaguchi T., Machida H., Matsuda A. // J. Med. Chem. 1992. V. 35. P. 2253–2260.
64. Cristalli G., Eleuteri A., Vittori S., Volpini R., Lohse M.J., Klotz K.-N. // J. Med. Chem. 1992. V. 35. P. 2363–2368.
65. Shealy Y.F., O'Dell C.A., Arnett G., Shannon W.M. // J. Med. Chem. 1986. V. 29. P. 79–84.
66. Bobek M., Kawai I., Sharma R.A., Grill S., Dutschman G., Cheng Y.-C. // J. Med. Chem. 1987. V. 30. P. 2154–2157.
67. Inoue H., Imura A., Ohtsuka E. // Nippon Kagaku Kai-shi. 1987. P. 1214–1220.
68. Matsuda A., Minakawa N., Sasaki T., Ueda T. // Chem. Pharm. Bull. 1988. V. 36. P. 2730–2733.
69. Minakawa N., Takeda T., Sasaki T., Matsuda A., Ueda T. // J. Med. Chem. 1991. V. 34. P. 778–786.
70. Cruickshank K.A., Stockwell D.L. // Tetrahedron Lett. 1988. V. 29. P. 5221–5224.
71. Saintomé C., Clivio P., Fourrey J.-L., Woisard A., Favre A. // Tetrahedron Lett. 1994. V. 35. P. 873–876.
72. Gibson K.J., Benkovic S.J. // Nucl. Acids Res. 1987. V. 15. P. 6455–6467.
73. Spaltenstein A., Robinson B.H., Hopkins P.B. // Biochemistry. 1989. V. 28. P. 9484–9495.
74. Kirchner J.J., Hustedt E.J., Robinson B.H., Hopkins P.B. // Tetrahedron Lett. 1990. V. 31. P. 593–596.
75. Hobbs F.W., Jr., Trainor G.L. // Pat. US 5151507. 1992.
76. Casalnuovo A.L., Calabrese J.C. // J. Am. Chem. Soc. 1990. V. 112. P. 4324–4330.

77. Kwiatkowski M., Samiotaki M., Lamminmäki U., Mukkala V.-M., Landegren U. // Nucl. Acids Res. 1994. V. 22. P. 2604–2611.
78. Hobbs F.W., Jr., Cocuzza A.J. // Pat. US 5047519. 1991.
79. Hashimoto H., Nelson M.G., Switzer C. // J. Am. Chem. Soc. 1993. V. 115. P. 7128–7134.
80. Prober J.M., Dam R.J., Robertson C.W., Jr., Hobbs F.W., Jr., Trainor G.L. // Pat. US 5306618. 1994.
81. Prober J.M., Dam R.J., Robertson C.W., Jr., Hobbs F.W., Jr., Trainor G.L. // Pat. US 5332666. 1994.
82. Robins M.J., Vinayak R.S., Wood S.G. // Tetrahedron Lett. 1990. V. 31. P. 3731–3734.
83. Crisp G.T., Flynn B.L. // J. Org. Chem. 1993. V. 58. P. 6614–6619.
84. Lin K.-Y., Pudlo J.S., Jones R.J., Bischofberger N., Matteucci M.D., Froehler B.C. // Bioorg. Med. Chem. Lett. 1994. V. 4. P. 1061–1064.
85. Manfredini S., Bazzanini R., Baraldi P.G., Simoni D., Vertuani S., Pani A., Pinna E., Scintu F., Lichino D., La Colla P. // Bioorg. Med. Chem. Lett. 1996. V. 6. P. 1279–1284.
86. Kašnar B. // Nucleosides Nucleotides. 1995. V. 14. P. 341–344.
87. Tanaka H., Baba M., Hayakawa H., Sakamaki T., Miyasaka T., Ubasawa M., Takashima H., Sekiya K., Nitta I., Shigeta S., Walker R.T., Balzarini J., De Clercq E. // J. Med. Chem. 1991. V. 34. P. 349–357.
88. Tong G., Lawlor J.M., Tregear G.W., Haralambidis J. // J. Org. Chem. 1993. V. 58. P. 2223–2231.
89. Chaudhuri N.C., Kool E.T. // J. Am. Chem. Soc. 1995. V. 117. P. 10434–10442.
90. Goodwin J.T., Glick G.D. // Tetrahedron Lett. 1993. V. 34. P. 5549–5552.
91. Seio K., Wada T., Sakamoto K., Yokoyama S., Seike M. // Tetrahedron Lett. 1995. V. 36. P. 9515–9518.
92. Davison A., Duckworth G., Vaman Rao M., McClean J., Grzybowski J., Potier P., Brown T., Cubie H. // Nucleosides Nucleotides. 1995. V. 14. P. 1049–1052.
93. Rahim S.G., Krenitsky T.A. // Pat. US 5157114. 1992.
94. Manfredini S., Baraldi P.G., Bazzanini R., Marangoni M., Simoni D., Balzarini J., De Clercq E. // J. Med. Chem. 1995. V. 38. P. 199–203.
95. Fulcrand-El Kattan G., Goudgaon N.M., Ilksoy N., Huang J.-T., Watanabe K.A., Sommadossi J.-P., Schinazi R.F. // J. Med. Chem. 1994. V. 37. P. 2583–2588.
96. Switzer C., Prakash T.P., Ahn Y. // Bioorg. Med. Chem. Lett. 1996. V. 6. P. 815–818.
97. Devadas B., Rogers T.E., Gray S.H. // Synth. Commun. 1995. V. 25. P. 3199–3210.
98. Sági G., Ötvös L., Ikeda S., Andrei G., Snoeck R., De Clercq E. // J. Med. Chem. 1994. V. 37. P. 1307–1311.
99. Nair V., Purdy D.F. // Tetrahedron. 1991. V. 47. P. 365–382.
100. Edstrom E.D., Wei Y. // J. Org. Chem. 1995. V. 60. P. 5069–5076.
101. Ramzaeva N., Seela F. // Helv. Chim. Acta. 1995. V. 78. P. 1083–1090.
102. Homma H., Watanabe Y., Abiru T., Murayama T., Nomura Y., Matsuda A. // J. Med. Chem. 1992. V. 35. P. 2881–2890.
103. Cristalli G., Camaiioni E., Vittori S., Volpini R., Borea P.A., Conti A., Dionisotti S., Ongini E., Monopoli A. // J. Med. Chem. 1995. V. 38. P. 1462–1472.
104. Cristalli G., Volpini R., Vittori S., Camaiioni E., Monopoli A., Conti A., Dionisotti S., Zocchi C., Ongini E. // J. Med. Chem. 1994. V. 37. P. 1720–1726.
105. Seela F., Zulauf M. // Synthesis. 1996. P. 726–730.
106. Kundu N.G., Mahanty J.S., Spears C.P. // Bioorg. Med. Chem. Lett. 1996. V. 6. P. 1497–1502.
107. Balow G., Brugger J., Lesnik E., Acevedo O.L. // Nucleosides Nucleotides. 1997. V. 16. In press.
108. Acevedo O.L., Andrews R.S., Dunkel M., Dan Cook P. // J. Heterocycl. Chem. 1994. V. 31. P. 989–995.
109. Palmisano G., Santagostino M. // Tetrahedron. 1993. V. 49. P. 2533–2542.
110. Bergstrom D.E. // Nucleosides Nucleotides. 1982. V. 1. P. 1–34.
111. Bergstrom D.E., Ruth J.L. // J. Am. Chem. Soc. 1976. V. 98. P. 1587–1589.
112. Prober J.M., Trainor G.L., Dam R.J., Hobbs F.W., Robertson C.W., Zagursky R.J., Cocuzza A.J., Jensen M.A., Baumeister K. // Science. 1978. V. 238. P. 336–341.
113. Castro C.E., Gaughan E.J., Owsley D.C. // J. Org. Chem. 1966. V. 31. P. 4071–4078.
114. Castro C.E., Havlin R., Honwad V.K., Malte A., Mojé S. // J. Am. Chem. Soc. 1969. V. 91. P. 6464–6470.
115. Толстиков Г.А., Мустафин А.Г., Гатаулин Р.Р., Спирюхин Л.В., Абдрахманов И.Б. // Изв. АН. Сер. хим. 1992. С. 1449–1450.
116. Толстиков Г.А., Мустафин А.Г., Гатаулин Р.Р., Спирюхин Л.В., Султанова В.С., Абдрахманов И.Б. // Изв. АН. Сер. хим. 1993. С. 596–598.
117. Ikebara M., Tada H. // Synthetic Procedures in Nucleic Acid Chemistry / Eds W.W. Zorbach, R.S. Tipson. N.Y.: Intersci. Publ., 1968. P. 188–192.
118. Long R.A., Robins R.K., Townsend L.B. // Synthetic Procedures in Nucleic Acid Chemistry / Eds W.W. Zorbach, R.S. Tipson. N.Y.: Intersci. Publ., 1968. P. 228–229.
119. Robins M.J., Barr P.J., Giziiewicz J. // Can. J. Chem. 1982. V. 60. P. 554–557.
120. Cristalli G., Camaiioni E., Vittori S., Volpini R. // Nucleosides Nucleotides. 1995. V. 14. P. 449–453.
121. Asakura J., Robins M.J. // J. Org. Chem. 1990. V. 55. P. 4928–4933.
122. Tanaka H., Hayakawa H., Haraguchi K., Miyasaka T. // Nucleosides Nucleotides. 1985. V. 4. P. 607–612.
123. Nair V., Richardson S.G. // Synthesis. 1982. P. 670–672.

124. Cocuzza A.J. // Tetrahedron Lett. 1988. V. 29. P. 4061–4064.
125. Awano H., Shuto S., Miyashita T., Ashida N., Machida H., Kira T., Shigeta S., Matsuda A. // Arch. Pharm. 1996. V. 329. P. 66–72.
126. Froehler B., Jones R.J. // Pat. US 5484908. 1996.
127. Seela F., Thomas H. // EP 710667. 1996.
128. Davison A.R., Duckworth G.S., Rao V., Brown T., McClean J.P. // EP 754700. 1997.

Alkynylated Nucleosides and Their Analogs. I. Methods of Synthesis

V. A. Korshun, E. V. Manasova, and Yu. A. Berlin

Shemyakin–Ovchinnikov Institute of Bioorganic Chemistry, Russian Academy of Sciences, ul. Miklukho-Maklaya 16/10, GSP-7 Moscow, 117871 Russia

Received January 21, 1997

Abstract—This review summarizes methods of the synthesis and data on the preparation of alkynylated nucleosides and their analogs, a group of compounds underlying promising antisense inhibitors of gene expression.

Key words: alkynylated nucleosides, alkynylated nucleoside analogues.